

الجمهورية الجزائرية الديمقراطية الشعبية  
وزارة التعليم العالي والبحث العلمي

NATIONAL HIGHER SCHOOL FOR  
HYDRAULICS

"The MujahidAbdellah ARBAOUI"



المدرسة الوطنية العليا للري  
"المجاهد عبد الله عرباوي"

ⵎⵓⵎⵉⵏⵉ ⵏ ⵙⵉⵔⵉⵏ ⵏ ⵙⵉⵔⵉⵏ ⵏ ⵙⵉⵔⵉⵏ ⵏ ⵙⵉⵔⵉⵏ

## MEMOIRE DE MASTER

*Pour l'obtention du diplôme de Master en Hydraulique*

**Option : CONCEPTION DES SYSTEMES D'ASSAINISSEMENT**

**THEME :**

**Apport des techniques de télédétection et des SIG dans la  
Cartographie et l'évaluation d'érosion hydrique  
Dans le bassin versant de l'oued HARRAZA (Algérie)**

**Présenté par :**

**MALEG Yasser Badr Eddine**

**Devant les membres du jury**

**Nom et Prénoms**

**Grade**

**Qualité**

MOKRANE Wahiba

M.C.B

Président

SALHI Chahrazed

M.C.B

Examineur

KADI Latifa

M.A.A

Examineur

HARKAT Samra

M.C.A

Promoteur

**Session septembre 2024**

## Remerciements

Tout d'abord, je remercie le **GRAND DIEU** de m'avoir accordé la santé, force, volonté et courage pour réaliser ce travail.

Je tiens à exprimer mes remerciements à toute personne m'ayant aidé dans mon travail, particulièrement à ma promotrice madame **SADOUNE Samra** pour son encadrement et ses orientations judicieuses.

Mes remerciements vont également à l'ensemble des professeurs de mon parcours scolaire, sans oublier mes amis étudiants à l'école et en dehors, pour leurs précieuses aides, conseils et astuces qu'ils m'ont fournis.

J'adresse finalement mes remerciements au président du jury, madame **MOKRANE Wahiba**, ainsi que les membres du jury madame **SALHI Chahrazed** et madame **KADI Latifa** qui me font l'honneur d'apprécier et juger mon travail.

# Dédicace

À mon père

À ma mère

À mes soeurs

## ملخص

التعرية المائية هي ظاهرة طبيعية تشكل تهديداً كبيراً للأمن المائي والغذائي، مما يؤدي إلى أضرار اقتصادية جسيمة ترتبط بشكل رئيسي بتراكم الطمي في السدود وانخفاض إنتاجية التربة. يهدف هذا البحث إلى تحليل المخاطر المحتملة لتآكل التربة في منطقة حوض وادي حرازة في شمال الجزائر باستخدام تقنيات الاستشعار عن بعد ونظم المعلومات الجغرافية، وذلك لإعداد خريطة توضح مناطق خطر تآكل التربة من خلال تحديد العوامل المؤثرة في التآكل المائي

**كلمات مفتاحية:** التآكل المائي، الاستشعار عن بعد، الحوض الهيدرولوجي، وادي حرازة

## Résumé

L'érosion hydrique est un phénomène naturel qui constitue une menace sérieuse pour la sécurité en matière d'eau et de nourriture, entraînant des pertes économiques importantes, principalement liées à l'accumulation de sédiments dans les barrages et à la diminution de la productivité des sols. L'objectif de cette étude est d'analyser les risques potentiels d'érosion des sols dans le bassin hydrographique de l'Oued El HARRAZA Au nord de l'Algérie en utilisant des techniques de télédétection et des systèmes d'information géographique, afin de créer une carte des risques d'érosion des sols en identifiant les facteurs influents sur l'érosion hydrique.

**Mots-clefs :** L'érosion hydrique, modèle PAP/CAR, télédétection, Bassin versant l'Oued El HARRAZA

## Abstract

Water erosion is a natural phenomenon that poses a serious threat to water and food security, leading to significant economic losses primarily associated with sediment accumulation in reservoirs and decreased soil productivity. The aim of this study is to assess the potential risks of soil erosion in the hydrographic basin of Oued El HARRAZA In northern Algeria using remote sensing and geographic information systems, in order to create a map of soil erosion risks by identifying the factors affecting water erosion.

**Keywords:** Water erosion, PAP / RAC method, remote sensing watershed, Oued El HARRAZA

# Table des matières

## **CHAPITRE I : RECHERCHE BIBLIOGRAPHIQUE**

<u>Introduction</u> .....	1
<u>I.1 L'état d'art</u> .....	1
<u>I.1.1 Dans le Monde</u> .....	2
<u>I.1.2 En Algérie</u> .....	3
<u>I.2 L'origine et mécanisme de l'érosion hydrique :</u> .....	4
<u>I.2.1 L'érosion :</u> .....	4
<u>I.2.2 L'érosion hydrique :</u> .....	4
<u>I.3 Principaux agents de l'érosion hydrique</u> .....	5
<u>I.3.1 Intensité et agressivité des précipitations :</u> .....	5
<u>I.3.2 Ruissellement :</u> .....	5
<u>I.4 Facteurs influençant l'érosion hydrique :</u> .....	6
<u>I.4.1 Facteurs climatiques</u> .....	6
<u>I.4.2 Couvert végétal</u> .....	6
<u>I.4.3 Facteurs topographiques</u> .....	6
<u>I.4.4 Facteurs pédologiques</u> .....	7
<u>I.4.5 Facteurs anthropiques :</u> .....	7
<u>I.6 Conséquences de l'érosion hydrique</u> .....	7
<u>I.7 Quantification de l'érosion hydrique</u> .....	7
<u>I.7.1 Formule de Henin "1950"</u> .....	8
<u>I.7.2 Formule de Grailovic (1960):</u> .....	8
<u>I.7.3 Formule de Tixeront (1960) :</u> .....	9
<u>I.7.4 Formule de Fournier (1960) :</u> .....	9
<u>I.7.5 Formule de POLIAKOV :</u> .....	10
<u>I.7.6 Formule de l'A.N.R.H 1970 :</u> .....	10
<u>Conclusion</u> .....	10
<b>CHAPITRE II CADRE DE L'ÉTUDE</b>	
<u>Introduction</u> .....	11
<u>II.1 Description et situation géographique</u> .....	11
<u>II.2 Situation Climatique</u> .....	12
<u>II.2.1 Température</u> .....	12
<u>II.2.2 Précipitations</u> .....	13
<u>II.2.3 Évaporation</u> .....	14

II.2.4 Le Vent .....	15
II.3 Caractéristiques morphométriques.....	15
II.3.1 La Surface et le Périmètre .....	15
II.3.2 Forme du bassin .....	16
II.3.3 Le rectangle équivalent .....	16
II.3.4 Altitude Moyenne.....	17
II.3.5 Temps de concentration du bassin versant .....	18
Conclusion.....	19
 <b>CHAPITRE III : METHODOLOGIE ET APPLICATION</b>	
Introduction .....	20
III.1 Les systèmes d'Informations Géographiques et la Télédétection .....	20
III.1.1 La Télédétection.....	20
III.2 Principe de base de la télédétection .....	20
III.3 Utilisation de la télédétection et le système d'information géographique SIG :.....	21
III.4 Présentation du modèle PAP/CAR .....	22
III.5 Érodibilité : .....	23
III.5.1 Carte des pentes .....	23
III.5.1.1 L'élaboration de la carte des pentes .....	23
III.5.1.2 Résultat et interprétations : .....	26
III.5.2 Carte de Lithofaciés : .....	26
III.5.2.1 L'élaboration de la carte de Lithofaciés .....	26
III.5.2.2 Résultat et interprétations : .....	28
III.5.3 La carte d'érodibilité.....	28
III.5.3.1 L'élaboration de la carte d'érodibilité .....	28
III.5.3.2 Résultat et interprétations : .....	33
III.6 La carte de degré de couvert végétal .....	34
III.6.1 L'élaboration de la carte de degré de couvert végétal.....	34
III.6.1.1 Résultat et interprétations : .....	36
III.6.2 La carte d'occupation des sols .....	37
III.6.2.1 L'élaboration la carte d'occupation des sols .....	37
III.6.2.2 Résultat et interprétations : .....	38
III.7 Carte de protection du sol .....	39
III.7.1 Résultat et interprétations : .....	40
III.8 La carte d'état érosif.....	41
III.8.1 L'élaboration La carte d'état érosif.....	41

<u>III.8.2 Résultat et interprétations :</u> .....	43
<u>III.9 Avantages de la méthode PAP/CAR par rapport aux autres méthodes d'estimation de l'érosion hydrique</u> .....	44
<u>Conclusion</u> .....	44

## Liste des tableaux

### **CHAPITRE II CADRE DE L'ÉTUDE**

<b>Tableau II.1</b> : Répartition mensuelle des températures pour la période 1986 à 2023.....	13
<b>Tableau II.2</b> : Répartition des pluies mensuelles interannuelles pour la période 1986 à 2023..	13
<b>Tableau II.3</b> : Répartition de l'évaporation mensuelles pour la période 1986 à 2023.....	14
<b>Tableau II.4</b> : Répartition de la vitesse du vent pour la période 1986 à 2023.....	15
<b>Tableau II.5</b> : Calcul de l'altitude moyenne du bassin versant Herraiza pour la période 1986 à 2023.....	17
<b>Tableau II.6.</b> Paramètres morphométriques du bassin versant d'Oued Herraiza pour la période 1986 à 2023.....	18

### **CHAPITRE III : METHODOLOGIE ET APPLICATION**

<b>Tableau I</b> : Classes de pentes.....	24
<b>Tableau II</b> : classes de lithofaciés.....	27
<b>Tableau III</b> : matrice d'érodibilité des sols.....	29
<b>Tableau III</b> : matrice d'érodibilité des sols.....	31
<b>Tableau IV</b> : Degrés d'érodibilité.....	32
<b>Tableau V</b> : classes du degré de couvert végétal.....	35
<b>Tableau VI</b> : classe d'occupation du sol.....	37
<b>Tableau VII</b> : matrice de protection des sols.....	39
<b>Tableau IX</b> : Matrice des états érosifs des sols.....	41
<b>Tableau X</b> : codification des états érosifs.....	42

## Liste des figures

### **CHAPITRE I : RECHERCHE BIBLIOGRAPHIQUE**

**Figure 1.1.** Processus de l'érosion hydrique (Cheggour, 2008).....4

### **CHAPITRE II CADRE DE L'ÉTUDE**

**Figure II.1 :** Carte de bassins versant Chélif, Algérie (Source : SEMANTIC SCHOLAR,)..11

**Figure II.2 :** Carte de la situation géographique du sous bassin versant Herraiza (Arcgis 10.8).....12

**Figure II.3 :** Courbes de répartition mensuelle des températures.....13

**Figure II.4 :** Evolution de la pluviométrie mensuelle interannuelles.....14

**Figure II.5 :** Répartition de l'évaporation mensuelle.....14

Figure II.6 : Répartition de la vitesse du vent.....15

### **CHAPITRE III : METHODOLOGIE ET APPLICATION**

Fig.1 : Méthodologie adoptée pour l'évaluation de l'érosion hydrique par les directives PAP/CAR.....22

Figure 2 : Téléchargement et découpage du MNT selon les limites du bassin versant.....23

Figure 3 : Classification des pentes selon le code PAP/CAR(ArcGIS 10.1, 2024).....24

Figure 4 : Symbologie modifiée des pentes en 5 classes(ArcGIS 10.1, 2024).....25

Figure 5 : Carte des pentes du bassin versant oued HARRAZA (ArcGIS 10.1, 2024) .....26

Figure 6 : Téléchargement et découpage des formations géologiques(ArcGIS 10.1, 2024)....27

Fig.7 : Carte finale des formations géologiques oued HARRAZA (ArcGIS 10.1, 2024).....28

Figure 8 : Superposition des cartes de lithofaciès et de pentes (ArcGIS 10.1, 2024).....29

Fig.9 : résultat de la superposition (ArcGIS 10.1, 2024).....30

Fig.10 : Création du nouveau champ "Érodibilité"(ArcGIS 10.1, 2024).....31

**Fig.11 :** modification les couches selon degré d'érodibilité selon PAP/CAR(ArcGIS 10.1, 2024).....32

**Fig.12 :** Carte d'érodibilité des matériaux oued HARRAZA (ArcGIS 10.1, 2024).....33

**Fig.13 :** Téléchargement et découpage du NDVI selon les limites du bassin versant(ArcGIS 10.1, 2024).....34

**Fig.14 :** Classifications les couche selon Degré de couvert végétal de PAP/CAR(ArcGIS 10.1, 2024).....35

**Fig.15 :** Carte de degré de couvert végétal oued HARRAZA (ArcGIS 10.1, 2024).....36

<b>Fig.16</b> : carte d'occupation du sol oued HARRAZA végétal (ArcGIS 10.1, 2024).....	37
<b>Fig.17</b> : carte d'occupation du sol oued HARRAZA (ArcGIS 10.1, 2024).....	38
Figure 18 : Superposition des deux cartes (ArcGIS 10.1, 2024).....	39
<b>Fig. 20</b> : Carte de protection des sols oued HARRAZA (ArcGIS 10.1, 2024).....	40
<b>Figure 21</b> : Modification du champ "Érodibilité" à partir d'Excel.....	41
<b>Fig.22</b> : Classifications les couche selon Degrés des états érosifs de PAP/CAR(ArcGIS 10.1, 2024).....	42
Fig. 23 : Carte des états érosifs oued HARRAZA (ArcGIS 10.1, 2024).....	43

## LISTE DES ABRÉVIATIONS

ANRH Agence Nationale des ressources Hydraulique

A Superficie du bassin versant

P Périmètre du bassin versant

Kc Indice de compacité de Gravelius

L Longueur du rectangle équivalent

B Largeur du rectangle équivalent

Hmax Altitude maximale

Hmin Altitude minimale

H5% Altitude médiane (5%)

H50% Altitude médiane (50%)

H95% Altitude médiane (95%)

Ipm Pente moyenne

Ipg Indice de pente globale

Ds Dénivelée spécifique

Dd Densité de drainage

Icp Pente moyenne du cours d'eau principal

IBV Indice de pente du bassin versant

Tc Temps de concentration

## **Introduction :**

L'érosion hydrique est l'un des principaux risques naturels affectant les écosystèmes, contribuant à la dégradation des terres agricoles, à la sédimentation des réservoirs, et à une réduction significative des ressources en eau. Ce processus engendre non seulement des impacts environnementaux, mais aussi des conséquences socio-économiques considérables, notamment dans les régions vulnérables telles que l'Algérie. Selon Hadj Ali et al. (2016), l'Algérie perd annuellement une capacité de stockage d'eau estimée à 35 milliards de m<sup>3</sup> en raison de l'envasement des barrages.

Face à ce défi, des outils plus performants sont désormais nécessaires pour analyser et gérer les données liées à l'érosion hydrique. Parmi eux, l'utilisation conjointe de la télédétection et des systèmes d'information géographique (SIG) permet une meilleure évaluation et cartographie des risques d'érosion. Ces technologies offrent des capacités avancées pour le traitement, l'interprétation et la visualisation des données spatiales, en s'appuyant sur des images satellitaires et des modèles géographiques (Schmidt et al., 2010).

Dans ce contexte, l'objectif de ce travail est de cartographier la vulnérabilité à l'érosion hydrique dans le bassin versant d'oued HARRAZA en utilisant des données issues de la télédétection intégrées dans un SIG. Pour cela, nous appliquons un modèle qualitatif d'évaluation basé sur la méthode PAP/CAR développée par la FAO, prenant en compte des paramètres clés tels que la pente, la lithologie, l'occupation du sol et la couverture végétale (Borrelli et al., 2017).

Ce travail est structuré en trois chapitres principaux. Le premier chapitre se concentrera sur une revue de la littérature concernant l'érosion hydrique. Le deuxième chapitre examinera les caractéristiques climatiques et morphométriques de la zone d'étude. Enfin, le troisième chapitre décrira la méthodologie utilisée pour la cartographie et l'évaluation de l'érosion.

CHAPITRE I :  
RECHERCHE  
BIBLIOGRAPHIQUE

## **Introduction**

L'érosion se définit comme l'ensemble des processus externes responsables de la dégradation et du transport des particules de sol, que ce soit en surface ou en profondeur. Elle résulte d'une interaction complexe entre les forces naturelles et les caractéristiques du milieu, ce qui entraîne des modifications du relief par la perte de matière organique et minérale. Lorsque l'agent ablatif est l'eau, on parle d'érosion hydrique. Ce phénomène est influencé par des facteurs dits actifs, tels que l'intensité et la fréquence des précipitations, et des facteurs passifs, comme la texture du sol, la couverture végétale, et la pente du terrain (Ali et al., 2019; Nearing et al., 2017).

Les facteurs actifs sont souvent associés aux risques immédiats, comme les inondations et glissements de terrain, tandis que les facteurs passifs déterminent la vulnérabilité d'une zone donnée à l'érosion. Cette vulnérabilité, souvent désignée sous le terme de sensibilité à l'érosion, regroupe les paramètres influençant l'intensité de l'érosion hydrique (Panagos et al., 2015). L'étude de cette sensibilité est cruciale pour anticiper les zones à risque et élaborer des stratégies de gestion des sols durables.

Dans le présent chapitre, nous analyserons les différentes recherches menées à travers le monde sur la sensibilité des sols à l'érosion hydrique, en mettant l'accent sur les techniques modernes d'évaluation et de cartographie.

### **I.1 L'état d'art**

La méthode PAP/CAR a été développée par la FAO (Food and Agriculture Organization) en collaboration avec la Direction Générale de la Conservation de la Nature de Madrid (DGCONA), dans le cadre du Plan d'Action Prioritaire pour la Méditerranée. Cette méthode a été conçue pour évaluer qualitativement l'érosion hydrique en prenant en compte des paramètres clés tels que la pente, la couverture végétale, la lithologie et l'occupation des sols (El Jazouli et al., 2017).

PAP/CAR se distingue par sa flexibilité, sa simplicité et son efficacité, ce qui en fait une méthode largement adoptée pour la cartographie de l'érosion hydrique, notamment avec l'intégration des systèmes d'information géographique (SIG). L'essor des technologies SIG a permis d'affiner l'analyse des données spatiales, offrant ainsi une meilleure précision dans l'évaluation des risques d'érosion (Toumi et al., 2020). De ce fait, de nombreux chercheurs privilégient cette approche pour son adaptabilité à diverses conditions géographiques, en particulier dans les régions méditerranéennes vulnérables à l'érosion (Barakat et al., 2019).

### I.1.1 Dans le Monde

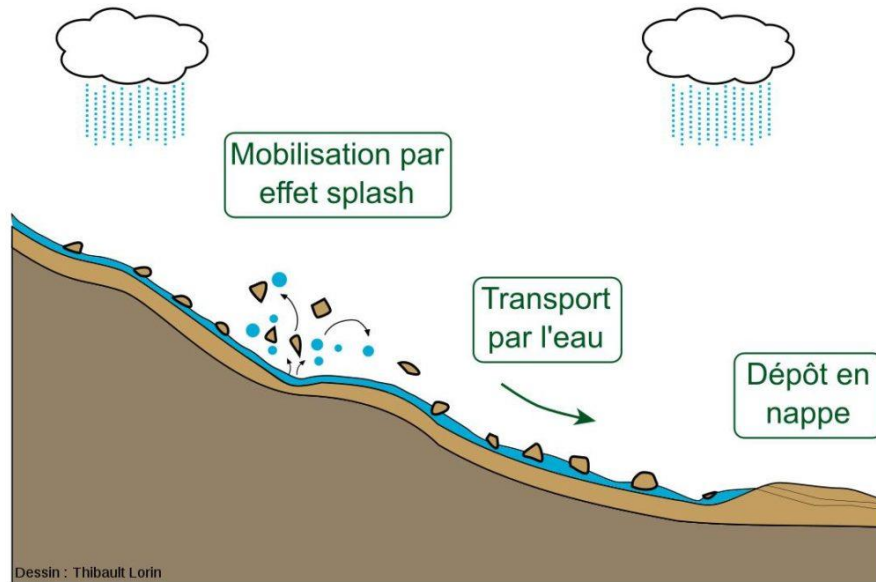
- **2010 - FAO** : *"Guidelines for the Assessment of Soil Erosion Risk: A Manual for the Application of the PAP/CAR Method."* Ce manuel de la FAO a fourni des directives détaillées pour l'application de la méthode PAP/CAR, incluant les étapes pour évaluer qualitativement l'érosion hydrique et les mesures de lutte recommandées.
- Apport des SIG et de la modélisation spatiale dans la cartographie de l'érosion hydrique dans le bassin versant de la Tessaoute amont. (Haut Atlas Central, Maroc), December 2013. Conference: Colloque national « Les bassins versants au maroc dynamique actuelle et stratégies de gestion », At: les 11 et 12 Décembre 2013 à la Faculté des Lettres et des Sciences Humaines Marrakech ; cette article examine comment les SIG et la modélisation spatiale peuvent cartographier l'érosion hydrique dans le bassin versant de la Tessaoute amont, Haut Atlas Central, Maroc. Présenté en décembre 2013, il montre l'impact de ces technologies sur la gestion des érosions dans les bassins versants.
- 2016 - Mesrar H. et Sadiki A. : *"Automating the PAP/CAR Procedure for Erosion Assessment: Development and Application of PAP/CAR Tools."* Cette recherche a développé et appliqué des outils SIG pour automatiser la méthode PAP/CAR, permettant une évaluation plus précise des processus d'érosion hydrique dans le bassin versant de l'Oued. Sahla, 2012) ; Les auteurs de cet article ont étudié le bassin versant de l'oued Sahla au Maroc afin d'évaluer l'érosion hydrique en utilisant la méthode PAP/CAR. Ils ont automatisé la procédure de suppression des cartes en suivant les directives PAP/CAR grâce à l'utilitaire "PAP/CAR Tools", qui a démontré sa fiabilité en termes de temps d'exécution et de crédibilité des résultats.

### I.1.2 En Algérie

- 2019 - Abdelli et Boudhar : "*Automating the PAP/CAR Method for Erosion Assessment in Southern Algeria.*" Les auteurs ont automatisé la procédure de modélisation de la méthode PAP/CAR en utilisant des outils SIG, ce qui a permis une évaluation plus efficace des tendances et des facteurs causaux de l'érosion dans le sud algérien. Abdelli et Boudhar (2019) ont automatisé la méthode PAP/CAR pour l'évaluation de l'érosion dans le sud de l'Algérie en utilisant des outils SIG. Cette automatisation a permis une analyse plus efficace des tendances et des facteurs causaux de l'érosion.
- 2021 - Benhammouda et al. : "*Application of PAP/CAR Method for Erosion Risk Assessment in Algeria Using GIS and Remote Sensing.*" Cette étude a utilisé la méthode PAP/CAR avec des outils SIG et de télédétection pour évaluer les risques d'érosion en Algérie, améliorant la cartographie des zones à risque et les stratégies de gestion. L'étude de Benhammouda et al. (2021) applique la méthode PAP/CAR avec des outils SIG et de télédétection pour évaluer les risques d'érosion en Algérie. Elle améliore la cartographie des zones à risque et les stratégies de gestion des érosions.

## I.2 L'origine et mécanisme de l'érosion hydrique :

L'érosion hydrique est le résultat de plusieurs processus, notamment le détachement, le transport et le dépôt ou la sédimentation. Ces processus se décomposent en trois phases : le détachement, le transport et le dépôt (fig. 1.1).



**Figure 1.1.** Processus de l'érosion hydrique (Cheggour, 2008)

Ce phénomène est généralement causé par l'action combinée de la pluie et du ruissellement, et son expression varie en fonction de la résistance du milieu (sol, couvert végétal, techniques culturales) et de la topographie (Wischmeier & Smith, 1978).

### I.2.1 L'érosion :

L'érosion des sols se réfère généralement au processus de "détachement" et de "transport" des particules du sol par divers agents tels que la gravité, l'eau, le vent et la glace, depuis leur lieu d'origine jusqu'à un site de "déposition" en aval. Ces déplacements de sol sont des processus non continus, caractérisés par de fortes variations spatio-temporelles (Hassan et al., 2006).

### I.2.2 L'érosion hydrique :

L'érosion hydrique est un phénomène de dégradation des sols influencé par des facteurs climatiques, topographiques, les propriétés du sol, la végétation et les pratiques de gestion des terres. Le détachement des matériaux du sol est causé par l'impact des gouttes de pluie et la force de traînée de l'eau courante. Les particules détachées sont d'abord transportées par l'écoulement de surface (érosion en nappe ou inter-rurale) et par l'écoulement concentré (érosion en ruisseau), avant de se déposer lorsque la vitesse de l'écoulement diminue (Smith et al., 2010).

### I.3 Principaux agents de l'érosion hydrique

#### I.3.1 Intensité et agressivité des précipitations :

Le détachement des particules du sol, semblable à un bombardement de gouttes de pluie ou à l'érosion causée par les eaux de ruissellement, est appelé "effet splash". Dans ce phénomène, l'énergie des gouttes de pluie agit en détruisant les éléments structuraux du sol. Selon Ammari (2012), la désagrégation et le détachement des particules résultent du "travail" exercé par les gouttes sur la surface du sol, et sont donc liés à l'énergie cinétique des gouttes.

$$E_c = \frac{1}{2} m v^2 \dots\dots\dots (I.1)$$

M : est la masse de la goutte (kg)

V : la vitesse (m/s)

Ec : l'énergie cinétique (joules).

L'évaluation de l'agressivité des précipitations peut se faire en prenant en compte l'énergie cinétique des gouttes de pluie. En effet, une corrélation empirique a été établie entre l'intensité des précipitations et l'énergie cinétique qu'elles génèrent (Dupont et Martin, 2003).

$$E_c = 11.9 + 8.73 \log I_p \dots\dots\dots (I.2)$$

Ec : Energie cinétique en (j/m<sup>2</sup> /mm).

Ip : intensité de pluie en (mm/h).

De nombreux chercheurs ont cherché à mesurer expérimentalement la quantité de sol détaché (Dp). Les formules issues de ces études prennent souvent la forme suivante (Lemoine et al., 1990) :

$$D_p = a \cdot E_c^b \dots\dots\dots (I.3)$$

Avec :

Dp : est la masse détachée et

Ec l'énergie cinétique de la pluie.

a, b : des coefficients dépendant essentiellement de la texture et de la structure du sol

#### I.3.2 Ruissellement :

L'eau s'écoule sur le sol sous forme d'une lame d'eau en filets diffus ou en écoulement concentré. Elle exerce une force de cisaillement sur le sol, arrachant et transportant les particules. Les conditions d'arrachement, de transport et finalement de dépôt dépendent de la vitesse du courant et de la taille des particules. Pour un sol donné, il existe une vitesse critique d'arrachement et une vitesse limite en dessous de laquelle les particules se déposent (Vrieling, 2006).

La vitesse du ruissellement est généralement considérée comme le principal facteur influençant l'action érosive de l'eau de surface. Meyer (1965) a proposé une relation pour estimer cette vitesse, souvent utilisée comme référence dans les études hydrologiques (Durand et Lefevre, 2006).

$$v_R = \frac{(I^{0,33} \cdot Q^{0,33})}{n^{0,66}} \dots \dots \dots (I.4)$$

Avec :

$v_R$  : Vitesse de ruissellement.

$Q_R$  : Débit du ruissellement.

$I$  : Pente du terrain.  $n$  : Rugosité du sol.

#### **I.4 Facteurs influençant l'érosion hydrique :**

Plusieurs facteurs influencent directement ou indirectement le processus d'érosion dans le bassin versant, notamment le climat et l'hydrologie, la morphologie du site, le sol, la végétation et les activités humaines.

##### **I.4.1 Facteurs climatiques**

Les facteurs climatiques sont cruciaux dans l'érosion hydrique, avec la pluie comme principal agent. L'érosivité de la pluie, définie par sa capacité à provoquer l'érosion, dépend de l'intensité de la pluie et de l'énergie cinétique des gouttes (Stengel et Gelin, 1998). Cette énergie est influencée par le diamètre des gouttes et leur vitesse de chute. La pluie contribue au détachement des particules de sol et à la formation du ruissellement (Macary et Berville, 2003).

##### **I.4.2 Couvert végétal**

Le couvert végétal est essentiel pour réduire le risque d'érosion. Un faible couvert végétal ou de résidus augmente ce risque. La végétation et les résidus protègent le sol de l'impact des gouttes de pluie, ralentissent la vitesse de l'eau de ruissellement et améliorent l'infiltration. L'efficacité du couvert végétal dépend de son type, de son étendue et de sa densité (Arnold et al., 1989).

##### **I.4.3 Facteurs topographiques**

Les facteurs topographiques, tels que la déclivité, la forme de la pente et la longueur de la plus grande pente, sont fondamentaux pour expliquer l'importance des phénomènes érosifs. Les pentes plus longues permettent une plus forte accumulation du ruissellement, augmentant ainsi l'énergie globale et les possibilités de détachement et de transport (Batti et Depraetere, 2007).

#### **I.4.4 Facteurs pédologiques**

Les facteurs pédologiques, notamment la résistance des agrégats à l'impact des gouttes de pluie, sont également importants. Cette résistance est influencée par la présence d'agents liants comme les argiles, la matière organique et le calcium. Les sols limoneux sont généralement plus sensibles que les sols argileux en raison de leur faible stabilité structurale. La structure, la texture, la perméabilité, la teneur en matières organiques et la capacité d'infiltration des sols conditionnent leur érodibilité, qui varie dans le temps et l'espace.

#### **I.4.5 Facteurs anthropiques :**

Les facteurs anthropiques jouent un rôle majeur dans l'érosion. Les activités humaines, telles que le défrichement des forêts, les incendies, le surpâturage et les pratiques culturales, déclenchent et accélèrent l'érosion. Les aménagements routiers et urbains augmentent les surfaces imperméables, exacerbant les inondations et favorisant le ruissellement, ce qui entraîne une dégradation accrue des sols

#### **I.6 Conséquences de l'érosion hydrique**

Les conséquences de l'érosion hydrique sont particulièrement visibles dans les bassins versants. Parmi les effets notables, on peut citer :

- La limitation de la production agricole, due à la dégradation des sols et à la réduction des surfaces cultivables.
- Une dégradation spécifique supérieure à 5000 t/km<sup>2</sup>/an.
- Une quantité de sédiments de 120 millions de tonnes rejetée dans la mer chaque année par les bassins méditerranéens.
- Une augmentation de la hauteur des lits des oueds, entraînant des inondations qui menacent les voies de communication et les ouvrages d'art.
- La sédimentation des lacs et des barrages, conduisant à leur envasement rapide et à une diminution de leur capacité de stockage.

#### **I.7 Quantification de l'érosion hydrique**

Les méthodes expérimentales pour calculer les bilans d'érosion sont souvent complexes à mettre en œuvre. Deux approches principales sont utilisées pour quantifier la désagrégation des sols : l'une repose sur des modèles intégrant des paramètres morphologiques, climatiques et hydrologiques, tandis que l'autre estime les matières en suspension transportées par les cours d'eau à l'exutoire d'un bassin versant. Les mesures d'érosion sont généralement réalisées sur des parcelles standard (Wischmeier et al., 1971; Roose, 1967, 1998), et l'étude des transferts de matières en suspension à l'échelle du bassin versant offre une compréhension approfondie des

processus d'érosion. Selon Albergel et al. (2001, 2003), plusieurs méthodes empiriques existent pour quantifier l'érosion hydrique, notamment des formules basées sur des paramètres physiques, appliquées dans les régions maghrébines (Bouanani, 2005).

### I.7.1 Formule de Henin "1950"

Cette formule décrit la relation entre l'érosion pluviale et les facteurs qui peuvent la provoquer ou la limiter. La quantification de l'érosion spécifique "Es" est obtenue par la formule suivante :

$$E_S = \frac{I_p I S}{K v_e} \dots \dots \dots (I.5)$$

Avec :

$I_p$  : Intensité des précipitations.

$I$  : Pente du bassin versant.

Les facteurs " $I_p$ " et " $I$ " favorisent l'érosion

$S$  : Susceptibilité des sols.

$K$  : Perméabilité.

$v_e$  : Végétation.

### I.7.2 Formule de Gravičovic (1960):

Il a défini l'érosion spécifique comme étant proportionnelle à la température, à la pluie et à un coefficient d'érosion. L'équation est donnée par l'expression suivante :

$$E_S = 3.14 \times T \times P_0 \sqrt{Z^3} \dots \dots \dots (I.6)$$

Avec

$E_S$  : érosion spécifique dans le bassin versant (T/km<sup>2</sup>/an)

$P_0$  : pluie annuelle en (mm).

$T$  : coefficient de température

$$T = \sqrt{\frac{t_0}{10}} + 0.1 \dots \dots \dots (I.7)$$

Avec :

$t_0$  : température moyenne annuelle en 0c.

$Z$  : coefficient d'érosion.

$$Z = y \times [x \times a] \times (\delta + \sqrt{I_{\text{moy}}}) \dots \dots \dots (I.8)$$

$y$  : valeur du coefficient de la résistance du sol dû à l'érosion. Il dépend de la roche mère, le type du sol et du climat.

[x.a] : Coefficient de régularisation du bassin versant, se rapportant à la protection des sols, Des influences des phénomènes atmosphériques des forces érosives liées aux conditions naturelles. Il est aussi tabulé.

$\delta$ : équivalent numérique des processus visibles et nettement prononcés dans le bassin versant.

$I_{moy}$ : indice de pente moyenne du bassin versant.

### I.7.3 Formule de Tixeront (1960) :

Elle repose sur les corrélations établies entre la lame d'eau annuelle et la perméabilité du bassin versant, basées sur l'observation de 32 bassins algériens et 9 bassins tunisiens sur une période allant de 2 à 22 ans.

$$E_s = [S_1 \cdot Ta_1 + S_2 \cdot Ta_2 + S_3 \cdot Ta_3 + \dots \dots \dots S_n Ta_n] \dots \dots \dots (I.9)$$

Avec :

$E_s$  : Erosion spécifique (t/Km<sup>2</sup>/an).

$Ta_1, Ta_2, Ta_n$  : Taux d'abrasion en fonction de la perméabilité du sol dans les sous Bassin (T/Km<sup>2</sup>).

$S$  : superficie totale du bassin (Km<sup>2</sup>).

$S_1, S_2, S_n$  : Superficie des sous bassins (Km<sup>2</sup>).

Maintenant, si on suppose que la totalité du bassin possède une même perméabilité

On a

$$E_s = K \times Le \dots \dots \dots (I.10)$$

$Le$  : lame d'eau ruisselée moyenne interannuelle (mm).

$K$  : constante.

$K$  : coefficient qui tient compte de la perméabilité des terrains.

$K = 8,5$  pour les terrains d'une perméabilité élevée.

$K = 75$  pour les terrains d'une perméabilité moyenne élevée.

$K = 350$  pour les terrains d'une perméabilité faible à moyenne.

$K = 1400$  pour les terrains d'une perméabilité faible.

$K = 3200$  pour les terrains perméables

### I.7.4 Formule de Fournier (1960) :

$$Q_s = \frac{1}{36} \times \left[ \frac{P^2}{P_a} \right]^{2.65} \left[ \frac{H_{moy}^2}{S} \right]^{0.46} \dots \dots \dots (I.11)$$

Avec ;

$Q_s$  : l'apport solide moyen inter annuel (en T/Km<sup>2</sup>/an).

$P$  : la pluviométrie du mois le plus arrosé (en mm).

Hmoy : l'altitude moyenne (en mm).

Pa : la pluviométrie moyenne interannuelle (en mm).

S : superficie du bassin versant (en Km<sup>2</sup>).

#### I.7.5 Formule de POLIAKOV :

$$E_s = A \times K \times Q \times I^{1/2} \dots\dots\dots(\text{I.12})$$

Q : Débit de ruissellement de surface.

K =104 : proportionnalité.

I = 0.16 : la pente moyenne du bassin versant

A =0,5-10 : Coefficient d'érosion variant en fonction des types de sol.

On prend : A= 2.

#### I.7.6 Formule de l'A.N.R.H 1970 :

$$T_{ss} = 26,62I_e + 5,071I_p + 9,77C_t - 593,59 \dots\dots\dots(\text{I.13})$$

T<sub>ss</sub> : transport solide spécifique moyen annuel (T/Km<sup>2</sup>/an)

I<sub>e</sub>: indice lithologique (%).

I<sub>P</sub> : indice des précipitations (%).

C<sub>t</sub> : Coefficient de torrencialité :

$$C_t = D_d \times F_1 \dots\dots\dots(\text{I.14})$$

$$D_d = \frac{\sum LI}{A} \dots\dots\dots(\text{I.15})$$

D<sub>d</sub> : densité de drainage

LI : longueur de tous les cours d'eau d'ordre « 1 » (K m).

F<sub>1</sub> = nombre de talweg/ surface fréquence des talwegs élémentaires

Cette formule est applicable dans les conditions suivantes :

$$I_e > 10\%$$

$$I_P > 300$$

### Conclusion

L'érosion des sols est un phénomène complexe influencé par de multiples facteurs naturels et anthropiques. Ce chapitre a présenté les approches méthodologiques pour la quantification de l'érosion, en mettant l'accent sur les méthodes expérimentales et les modèles utilisés pour estimer les pertes en sols. Il a également abordé les différentes techniques de mesure à l'échelle des parcelles et des bassins versants, offrant une perspective globale sur les processus d'érosion. L'étude approfondie de ces mécanismes permettra d'améliorer la gestion des terres et de limiter les impacts négatifs, tels que l'envasement des cours d'eau et la dégradation des terres agricoles.

CHAPITRE II :  
CADRE DE L'ÉTUDE

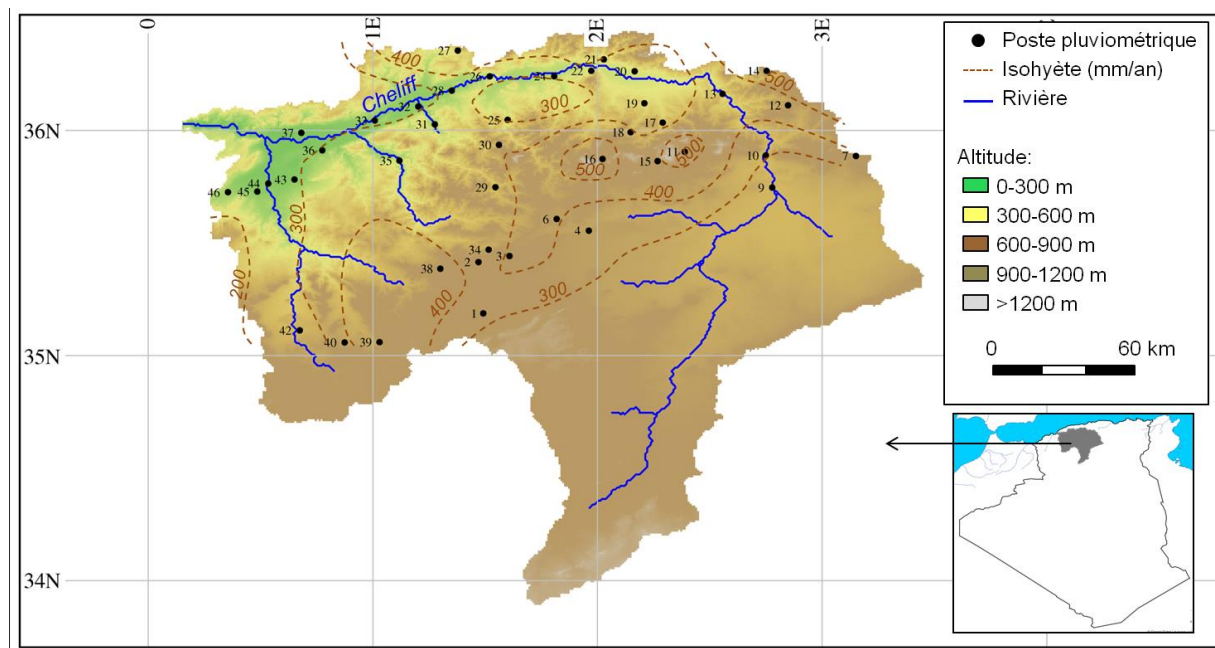
## Introduction

Le bassin versant D'OUED HARRAZA a été choisi comme site d'application de notre travail en raison de l'absence d'études précédentes, malgré la diversité des données disponibles. Ses unités naturelles seront d'abord analysées sur le plan physique (morphologie, géologie, hydrographie, couvert végétal, etc.) pour caractériser les principaux facteurs naturels influençant l'écoulement.

Dans ce chapitre, nous présentons les principales caractéristiques du bassin ainsi que les données du milieu physique dont nous disposons

### II.1 Description et situation géographique

Le bassin versant du Cheliff se trouve au centre-ouest de l'Algérie du Nord. Il est désigné par le numéro 01 selon la nomenclature de l'ANRH, avec une longitude comprise entre  $0^{\circ}12'$  et  $3^{\circ}7'$  Est et une latitude entre  $33^{\circ}91'$  et  $36^{\circ}5'$  Nord. Il est délimité au Nord par les bassins versants Côtiers Algérois et la mer Méditerranée, au Sud par le bassin du Sahara (les hautes plaines), à l'Est par le bassin Algérois Hodna-Soummam et à l'Ouest par le bassin Oranie-Chott

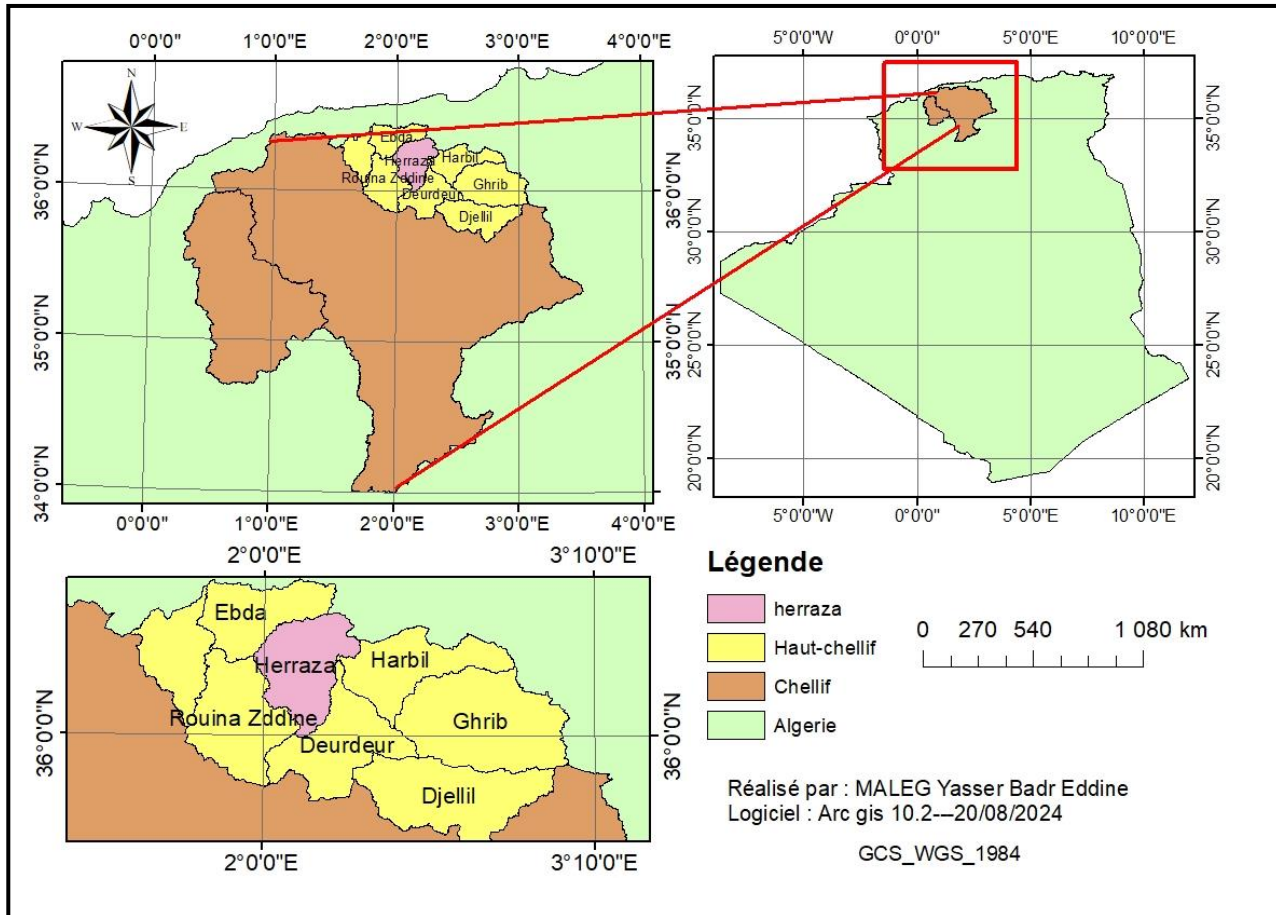


Chergui (Meguenni, K., & Remini, B. 2008)

**Figure II.1** : Carte de bassins versant Chélif, Algérie (Source : SEMANTIC SCHOLAR, 2024)

Le bassin versant de l'oued Harreza fait partie du bassin de l'oued Cheliff et se trouve à 120 km à l'ouest d'Alger. Il couvre une superficie de 142 km<sup>2</sup> avec une altitude moyenne de 500 mètres. L'oued Harreza parcourt 40,5 km en direction nord-ouest. Le relief du bassin varie

de 765 mètres au sud à 313 mètres à l'exutoire. Géologiquement, il est situé entre les montagnes schisteuses de Boumaad et les contreforts de l'Ouarsenis, avec des reliefs composés de calcaire, de schistes métamorphiques et de roches éruptives. La vallée est caractérisée par des sols limoneux, argileux et marneux (Meguenni, K., & Remini, B. 2008).



**Figure II.2 :** Carte de la situation géographique du sous bassin versant Herraza (Arcgis 10.8)

## II.2 Situation Climatique

Le bassin versant de HERRAZA est soumis à un climat de type méditerranéen, caractérisé par des étés chauds et secs et des hivers doux et humides. Les paramètres climatologiques, ont été déterminés à partir des informations disponibles fournies par (ANRH) de la wilaya de Blida. Les données climatiques présentées ci-dessous couvrent une période d'observation de 37 ans, allant de 1986 à 2023.

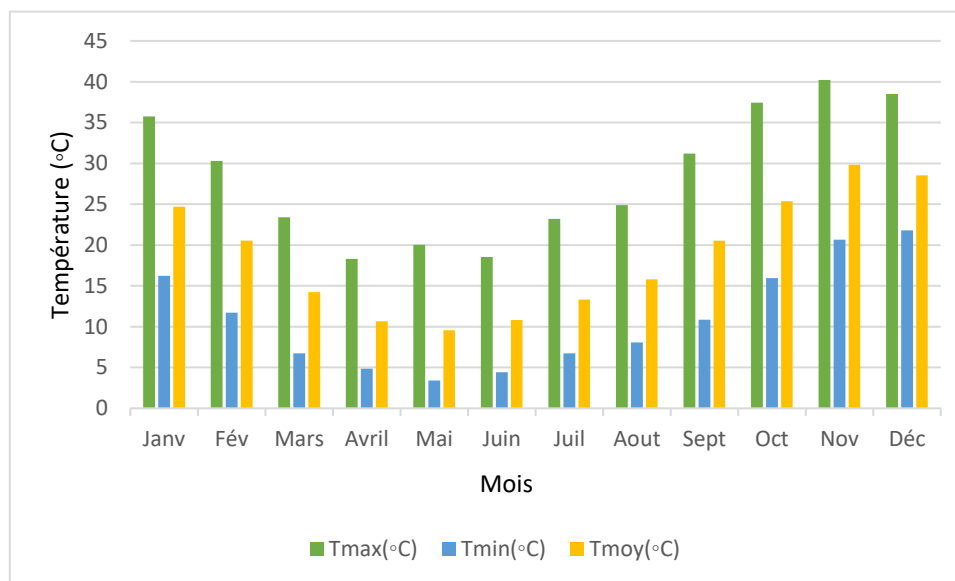
### II.2.1 Température

Les températures varient considérablement au cours de l'année. Les mois les plus chauds sont juillet, août et septembre, avec des températures maximales dépassant souvent 35°C. En revanche, les mois les plus froids sont décembre, janvier et février, avec des températures minimales avoisinant 3 à 5°C.

**Tableau II.1** : Répartition mensuelle des températures pour la période 1986 à 2023

Mois	Janv	Fév	Mars	Avril	Mai	Juin	Juil	Aout	Sept	Oct	Nov	Déc
$T_{max}(^{\circ}C)$	35.74	30.31	23.41	18.31	20.04	18.52	23.19	24.87	31.20	37.43	40.21	38.49
$T_{min}(^{\circ}C)$	16.21	11.71	6.72	4.87	3.40	4.44	6.72	8.05	10.86	15.95	20.64	21.79
$T_{moy}(^{\circ}C)$	24.68	20.52	14.23	10.67	9.57	10.83	13.34	15.79	20.53	25.35	29.84	28.54

(Source : ANRH, 2024)

**Figure II.3** : Courbes de répartition mensuelle des températures

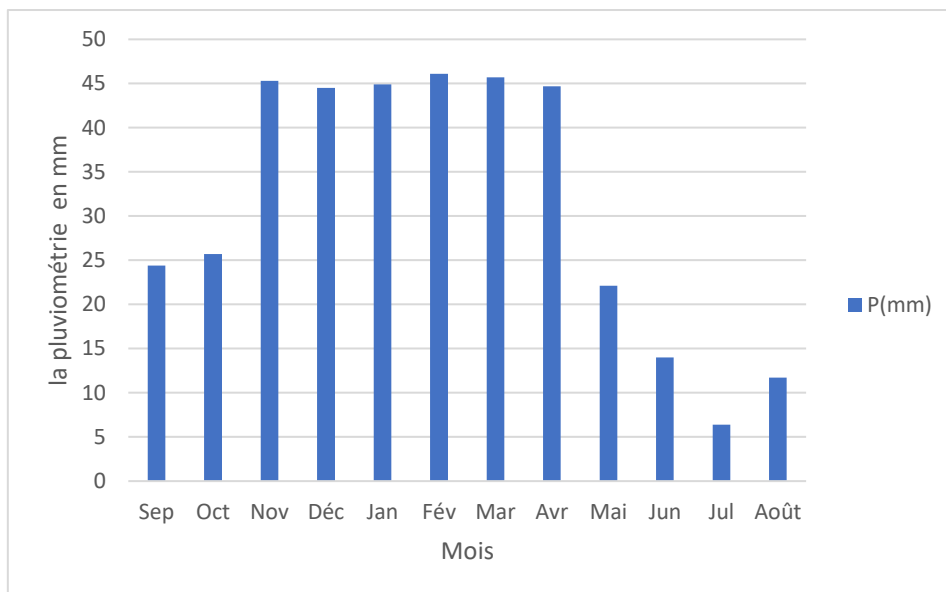
### II.2.2 Précipitations

La région connaît une période pluvieuse d'octobre à avril, avec des précipitations mensuelles d'environ 45 mm. La période sèche s'étend de mai à octobre, juillet étant le mois le plus sec avec seulement 6,4 mm de pluie. La pluviométrie annuelle totale atteint 375,3 mm

**Tableau II.2** : Répartition des pluies mensuelles interannuelles pour la période 1986 à 2023

Mois	Sep	Oct	Nov	Déc	Jan	Fév	Mar	Avr	Mai	Jun	Jul	Août	MA
<b>P(mm)</b>	24,4	25,7	45,3	44,5	44,9	46,1	45,7	44,7	22,1	14,0	6,4	11,7	<b>375,3</b>

(Source : ANRH, 2024)



**Figure II.4 :** Evolution de la pluviométrie mensuelle interannuelles

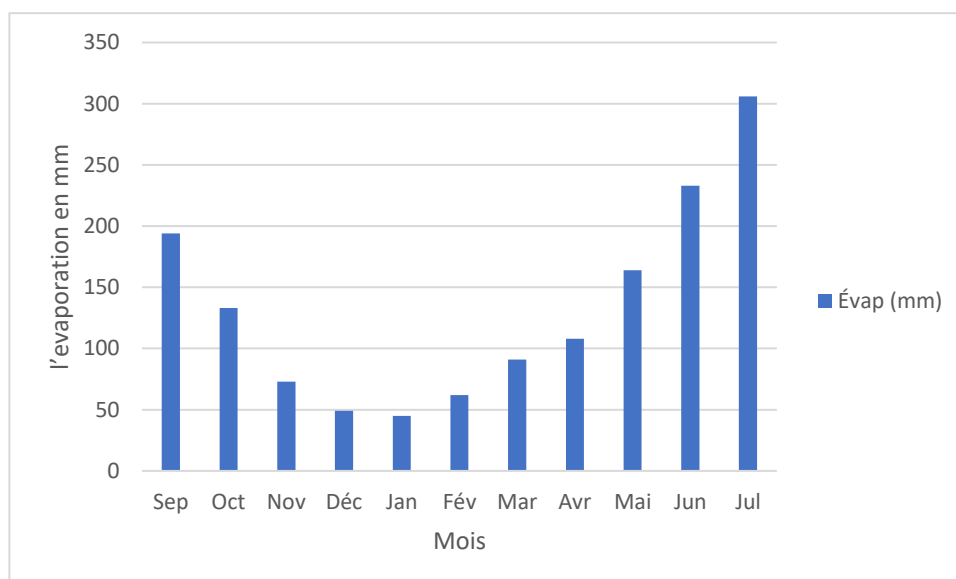
### II.2.3 Évaporation

L'évaporation atteint son maximum en été (de juin à août), dépassant 200 mm par mois, et son minimum en hiver (de décembre à février), tombant en dessous de 65 mm par mois.

**Tableau II.3 :** Répartition de l'évaporation mensuelles pour la période 1986 à 2023

Mois	Sep	Oct	Nov	Déc	Jan	Fév	Mar	Avr	Mai	Jun	Jul
Évap (mm)	194	133	73	49	45	62	91	108	164	233	306

(Source : ANRH, 2024)



**Figure II.5 :** Répartition de l'évaporation mensuelle

### II.2.4 Le Vent

La vitesse du vent reste relativement constante tout au long de l'année, oscillant généralement entre 2,5 et 4 km/h.

**Tableau II.4 :** Répartition de la vitesse du vent pour la période 1986 à 2023

Mois	Jan	Fév	Mar	Avr	Mai	Jun	Jul	Août	Sep	Oct	Nov
V (km/h)	3.69	3.79	3.38	3.22	3.53	2.87	2.87	2.88	2.87	2.67	3.18

(Source : ANRH, 2024)

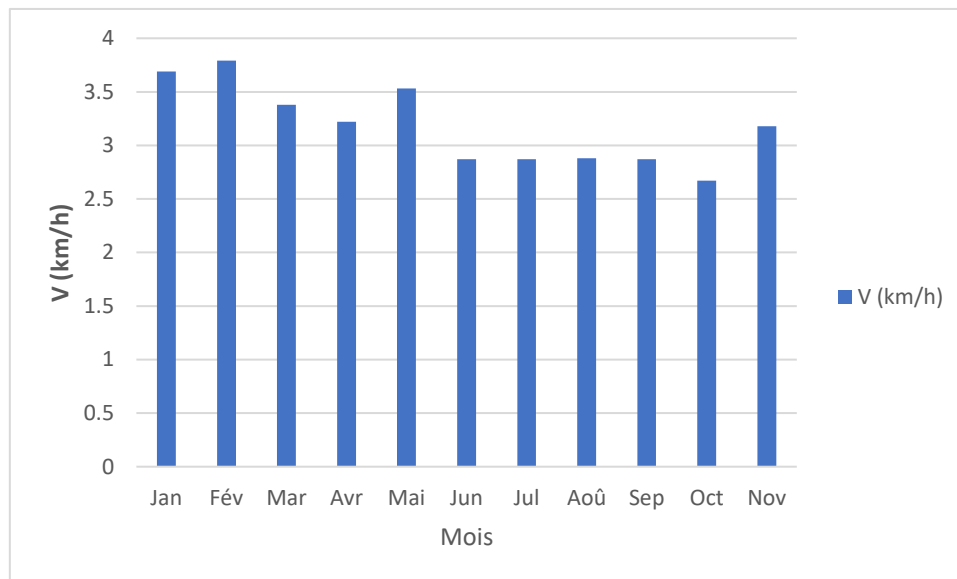


Figure II.6 : Répartition de la vitesse du vent

## II.3 Caractéristiques morphométriques

Dans le cadre d'une étude générale sur l'influence des caractéristiques physiques et morphologiques du bassin versant (nature, forme, etc.), il est nécessaire d'identifier ces caractéristiques morphométriques pour analyser le comportement hydrologique du bassin versant (lamme d'eau précipitée, débit, etc.). Les variations de ces caractéristiques influencent le comportement hydrologique du bassin versant, et leur analyse permet une meilleure compréhension des causes des variations des régimes hydrologiques, ainsi que du régime hydrographique et de la dynamique des matériaux.

### II.3.1 La Surface et le Périmètre

La surface topographique est le paramètre le plus crucial du bassin, car elle permet de contrôler l'intensité de divers phénomènes hydrologiques tels que le débit, le volume de précipitation ou l'infiltration, entre autres (Touaibia, 2004).

Le bassin versant de Herraiza englobe une superficie de 760.27 km<sup>2</sup> et un périmètre d'environ 163.612 km.

**II.3.2 Forme du bassin**

**Indice de compacité de Gravelius (Kc) :**

La détermination de divers indices de forme permet de comparer les bassins versants entre eux et d'estimer certaines de leurs caractéristiques hydrologiques. Parmi ces indices, l'indice de Gravelius (Kc) caractérise la compacité du bassin versant. Il est défini comme le rapport entre le périmètre du bassin versant et le périmètre d'un cercle ayant la même superficie que le bassin. (Gravelius, 1914), Il est donné par la relation suivante :

$$K_G = \frac{P}{2\sqrt{\pi A}} = 0,28 \dots \dots \dots \text{II. 1}$$

Sachant que :

$K_G$  : Coefficient de compacité de Gravelius.

P : Périmètre du bassin versant [m].

S : Surface du bassin versant [km<sup>2</sup>] Si.

Lorsque  $K_G$  tend vers 1, le bassin est compact. Si  $K_G$  est supérieur à 1, le bassin est allongé. Plus ce coefficient s'approche de 1, plus la forme du bassin versant sera compacte et plus le temps de concentration des eaux sera court. À l'inverse, si Kc est plus grand, la forme du bassin sera allongée.

$$K_G = 0,28 \frac{163.612}{\sqrt{760.273}} = 1.661$$

**II.3.3 Le rectangle équivalent**

Appelé également rectangle de Gravelius, cette transformation géométrique convertit le bassin en un rectangle ayant le même périmètre et la même surface. En conséquence, les lignes de niveau deviennent des lignes droites parallèles, la sortie étant l'un de ces petits côtés. Cela permet de comparer différents bassins versants entre eux en termes de forme et d'écoulement (Touaibia, 2004).

La longueur "L" et la largeur "l" sont données par les expressions :

$$L = k_c \frac{\sqrt{S}}{1,128} \left( 1 + \sqrt{1 - \left( \frac{1,128}{Kc} \right)^2} \right) \dots \dots \dots \text{II. 2}$$

Et

$$l = k_c \frac{\sqrt{s}}{1,128} \left( 1 - \sqrt{1 - \left( \frac{1,128}{Kc} \right)^2} \right) \dots \dots \dots \text{II. 3}$$

D'où : L= 70.40 km et

B= 10.79 km

**II.3.4 Altitude Moyenne**

L'altitude moyenne est la hauteur moyenne d'une région par rapport au niveau de la mer. Elle est calculée en prenant en compte les différentes altitudes présentes dans cette zone et en les moyennant.

**Tableau II.5 :** Calcul de l'altitude moyenne du bassin versant Herraза

Tranche d'altitude	Altitude moyenne (H <sub>i</sub> )	Surface (S <sub>i</sub> ) (km <sup>2</sup> )	S <sub>i</sub> · H <sub>i</sub>
277-450	363,5	384,771	139864,25
450-650	550	238,076	130941,8
650-850	750	98,104	73578
850-1050	950	21,454	20381,3
1050-1250	1150	8,111	9327,65
1250-1450	1350	7,701	10396,35
1450-1610	1530	2,056	3145,68
<b>Total</b>		760,273	387634,0385

L'altitude moyenne du bassin versant est déterminée de la manière suivante :

$$H_{\text{moy}} = \frac{\sum(S_i \cdot H_i)}{\sum S_i} \dots \dots \dots \text{II. 4}$$

$$H_{\text{moy}} = \frac{387634,0385}{760,273} = 509.86 \text{ m}$$

Où :

H<sub>moy</sub> : L'altitude moyenne (m);

S<sub>i</sub> : Surface partielle comprise entre deux courbes de niveaux (km<sup>2</sup>)

H<sub>i</sub> : Altitude moyenne entre deux courbes de niveaux (m)

S : Surface totale du bassin versant (km<sup>2</sup>).

**II.3.5 Temps de concentration du bassin versant**

**Formule de Giandotti**

Le temps de concentration des eaux sur un bassin versant représente la durée maximale nécessaire à une goutte d'eau pour parcourir le chemin hydrologique entre un point du bassin et son exutoire, déterminé par la relation de Giandotti.

$$t_c = \frac{4\sqrt{S} + 1,5L_{cp}}{0,8\sqrt{H_{moy} - H_{min}}} \dots \dots \dots \text{II. 5}$$

$$t_c = \frac{4\sqrt{760.27} + 1,5 * 25.2}{0,8\sqrt{509.86 - 277}} = 12.13 \text{ heures}$$

Avec :

S : surface du bassin versant en Km<sup>2</sup> ;

Lcp : longueur du cours d'eau principal en Km ;

tc : temps de concentration en heure ;

Hmoy: altitude moyenne en m;

Hmin: altitude minimale en m.

**Formule de SCS ANRH**

$$T_c = \left( \frac{0.87 \times L_{cp}^3}{H_{moy} - H_{min}} \right)^{0.385} \dots \dots \dots \text{II. 6}$$

$$T_c = \left( \frac{0.87 \times L_{cp}^3}{509.86 - 277} \right)^{0.385} = 4.83 \text{ heures}$$

Avec :

Tc : Temps de concentration (h);

Hmoy et Hmin : Altitudes moyenne et minimale du bassin versant (m);

Lcp : Longueur du cours d'eau principal (km).

Les données morphométriques de notre bassin peuvent être résumées dans le tableau suivant :

**Tableau II.6.** Paramètres morphométriques du bassin versant d'Oued Harraza

Caractéristique	Unité	Valeur
Superficie du bassin versant (A)	km <sup>2</sup>	760.27
Périmètre du bassin versant (P)	km	163.612
Longueur du thalweg principal	km	25.2
Altitude maximale (H <sub>max</sub> )	m	1610

Altitude moyenne ( $H_{50\%}$ )	m	509.86
Altitude minimale ( $H_{min}$ )	m	277
Indice de compacité de Gravelius ( $K_c$ )	-	1.661
Rectangle équivalent - Longueur ( $L$ )	km	70.40
Rectangle équivalent - Largeur ( $B$ )	km	10.79
Pente moyenne ( $I_{pm}$ )	m/km	18.92
Temps de concentration Formule de Giandotti	heures	12.13
Temps de concentratio- Formule de CS	heures	4.83

### Conclusion

Dans ce chapitre, nous avons analysé les caractéristiques du bassin versant de Herraza, notamment son climat méditerranéen avec une pluviométrie annuelle de 375,3 mm, sa superficie de 760,27 km<sup>2</sup> et son réseau hydrographique modérément dense. L'identification précise de ces particularités est essentielle pour comprendre les phénomènes étudiés, tels que l'érosion hydrique, et pour entamer une évaluation qualitative approfondie.

CHAPITRE III:  
METHODOLOGIE ET  
APPLICATION

## **Introduction**

L'intégration de la télédétection et des systèmes d'information géographique (SIG) a transformé les pratiques dans le domaine de l'hydraulique et de la gestion des ressources en eau. Ces technologies offrent des outils puissants pour l'acquisition, l'analyse et la modélisation des données spatiales, permettant ainsi une compréhension plus approfondie des phénomènes hydrologiques et une meilleure prise de décision. En combinant ces techniques, les ingénieurs et chercheurs peuvent choisir des modèles adaptés à la complexité des systèmes étudiés, qu'il s'agisse de la gestion des eaux de surface, des prévisions de crues ou de l'aménagement des bassins versants. Selon plusieurs études, cette approche intégrée permet une meilleure précision et une flexibilité accrue dans l'analyse des données environnementales (Dupont et al., 2020 ; Martin et al., 2021)

### **III.1 Les systèmes d'Informations Géographiques et la Télédétection**

#### **III.1.1 La Télédétection**

La télédétection est un domaine en constante évolution grâce aux avancées technologiques dans les capteurs, aux nouvelles plateformes et aux applications innovantes. Elle offre des avantages significatifs par rapport aux méthodes traditionnelles, notamment en termes d'accès à des données spatiales, spectrales, radiométriques et temporelles.

##### **➤ Définition**

Le terme télédétection est composé de deux éléments : "télé", qui signifie à distance, et "détection". Il fait référence aux techniques permettant l'analyse d'objets ou de phénomènes sans contact direct, et a été introduit en français en 1973 (Martin & Dupuis, 2021).

Sa définition officielle est la suivante :

Ensemble des techniques et connaissances utilisées pour identifier les caractéristiques physiques et biologiques d'objets à partir de mesures effectuées à distance, sans interaction matérielle directe avec ceux-ci. » (Comité interministériel de terminologie de la télédétection, 1988).

#### **III.2 Principe de base de la télédétection**

La télédétection repose sur cinq éléments fondamentaux :

- **Source d'énergie** : La plupart des méthodes de télédétection utilisent une source d'énergie naturelle pour illuminer l'objet cible. Le soleil, par exemple, est une source d'énergie abondante et économique.
- **La cible** : C'est la surface éclairée par l'énergie, qui est ensuite réfléchi vers un capteur.

- Le capteur : Les satellites agissent comme des capteurs, convertissant l'énergie réfléchie en informations exploitables grâce à un système qui enregistre l'énergie émise par la cible.
- Le récepteur : Les données captées par le satellite sont transmises à un récepteur, souvent une antenne, qui transforme le signal en données brutes sous forme d'images.
- Station de traitement des données : Cette station convertit les images en données utilisables, en corrigeant les erreurs liées aux capteurs.

### **III.3 Utilisation de la télédétection et le système d'information géographique SIG :**

De nombreuses recherches récentes ont mis en évidence l'importance capitale des Systèmes d'Information Géographique (SIG) en tant qu'outils informatiques dédiés à la gestion des données géographiques pour le suivi et la quantification de l'érosion hydrique. Les SIG sont des outils performants, adaptables et puissants, capables d'intégrer de nombreux facteurs et de les présenter de manière facilement compréhensible (Smith et al., 2015).

Un Système d'Information Géographique, comme son nom l'indique, est un outil informatique dédié à la gestion des données géographiques. Ce type de système permet de fournir à chacun les informations nécessaires pour prendre des décisions et agir de manière optimale. Il sert à représenter la réalité, à comprendre les phénomènes et les conditions dans lesquelles ils se produisent, à simuler des alternatives et à évaluer leurs effets. C'est également un outil de dialogue et de communication entre disciplines, grâce à un constant aller-retour entre observation, interprétation, hypothèse et validation.

L'utilisation de ce type de système offre un moyen simple, rapide et efficace pour les études d'aménagement et la prise de décision (Johnson et al., 2018). L'utilisation des techniques de télédétection associées aux SIG permet l'estimation quantitative de l'érosion ainsi que sa distribution spatiale à moindre coût et avec un degré de précision appréciable pour de vastes superficies. Les décideurs politiques sont particulièrement intéressés par la distribution du risque d'érosion plutôt que par sa valeur absolue (Brown et al., 2010).

L'estimation quantitative de l'érosion se fait en appliquant des modèles empiriques ponctuels, qui nécessitent comme paramètres d'entrée des données spatialisées (pentes, texture du sol, hauteur de pluies, etc.) caractérisant les facteurs de l'érosion hydrique (topographie, érodibilité, érosivité, etc.) (Davis et al., 2008). Les SIG permettent d'appliquer des modèles ponctuels cellule après cellule sur tout un espace géographiquement étendu (Brown et al., 2010).

Les données spatialisées de chaque paramètre sont traitées séparément sous forme de couches d'informations et intégrées (superposition des couches) dans le SIG pour en ressortir la carte de distribution du risque d'érosion (Lee et al., 2007).

### III.4 Présentation du modèle PAP/CAR

#### ➤ Définition :

Le Programme d'Activité Prioritaire (PAP) est un plan d'action conçu par le Centre d'Activités Régionales (CAR), qui fait partie du Programme d'Alimentation Mondial (PAM) de l'Organisation des Nations Unies pour l'Alimentation et l'Agriculture (FAO).

L'un des objectifs principaux de ce plan, spécialement élaboré pour la région méditerranéenne, est d'effectuer un diagnostic des sols afin de les conserver et d'augmenter leur productivité.

Les directives du PAP/CAR orientent les recherches sur l'érosion hydrique dans la région méditerranéenne vers une méthode d'étude qualitative. Cette méthode permet de hiérarchiser la surface d'un bassin versant en unités distinctes selon leur vulnérabilité à l'érosion et de prédire les tendances actuelles des processus d'érosion hydrique (FAO, 2023).

Étant donné l'interdépendance des facteurs influençant l'état érosif d'un sol, l'application de cette méthode nécessite une démarche impliquant plusieurs opérations de croisements cartographiques et d'analyse de bases de données, selon l'organigramme suivant (Fig. 1) (CAR, 2021).

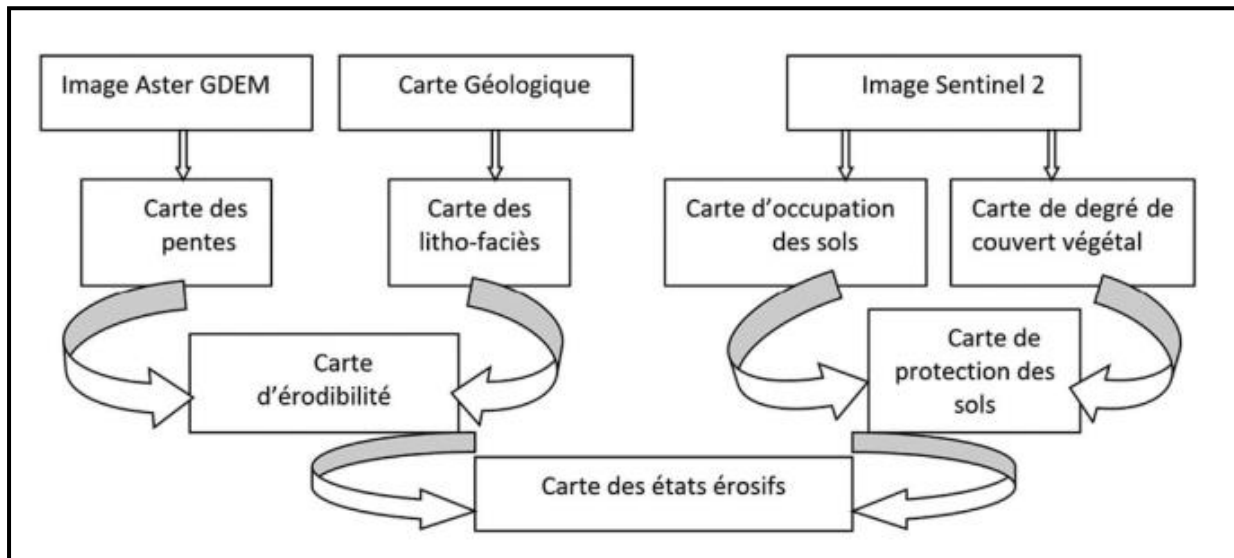


Fig.1 : Méthodologie adoptée pour l'évaluation de l'érosion hydrique par les directives PAP/CAR

La méthode commence par la superposition de quatre cartes, deux par deux, pour représenter l'effet combiné de deux facteurs. Ensuite, les deux cartes résultantes sont superposées pour obtenir la carte des états érosifs.

### III.5 Érodibilité :

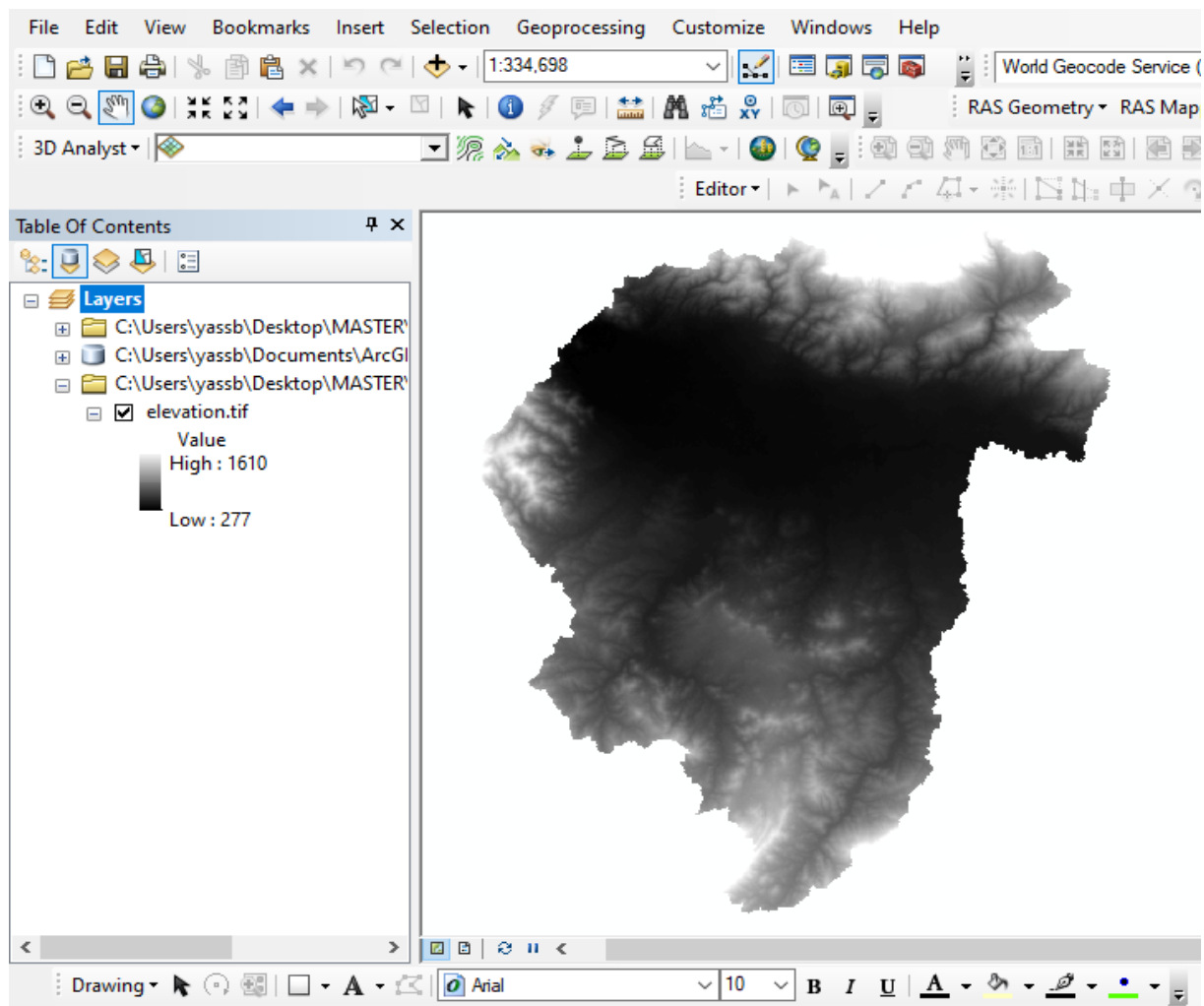
La carte d'érodibilité est obtenue en superposant la carte des lithofaciès et la carte des pentes. Il est scientifiquement reconnu que plus la pente est forte, plus les manteaux d'altération des roches sont rajeunis par l'érosion.

#### III.5.1 Carte des pentes

La démarche débute par la numérisation des courbes de niveau de la carte topographique, suivie de la création d'un modèle numérique de terrain (MNT). Ensuite, la carte des pentes est élaborée à partir du MNT. Selon les directives du PAP/CAR, les pentes sont réparties en cinq classes (Tableau I, Fig. 2) :

##### III.5.1.1 L'élaboration de la carte des pentes

Nous avons téléchargé le MNT de résolution de 30 m depuis le site USGS, puis nous avons découpé les données selon les limites de notre bassin versant en utilisant la fonction "Clip", par



logiciel ArcGIS 10.2.

Figure 2 : Téléchargement et découpage du MNT selon les limites du bassin versant (ArcGIS 10.2, 2024)

Ensuite, nous avons classé les pentes en suivant le code des pentes prescrit par les directives du PAP/CAR en 5 catégories. Ces catégories sont présentées dans le **Tableau I**

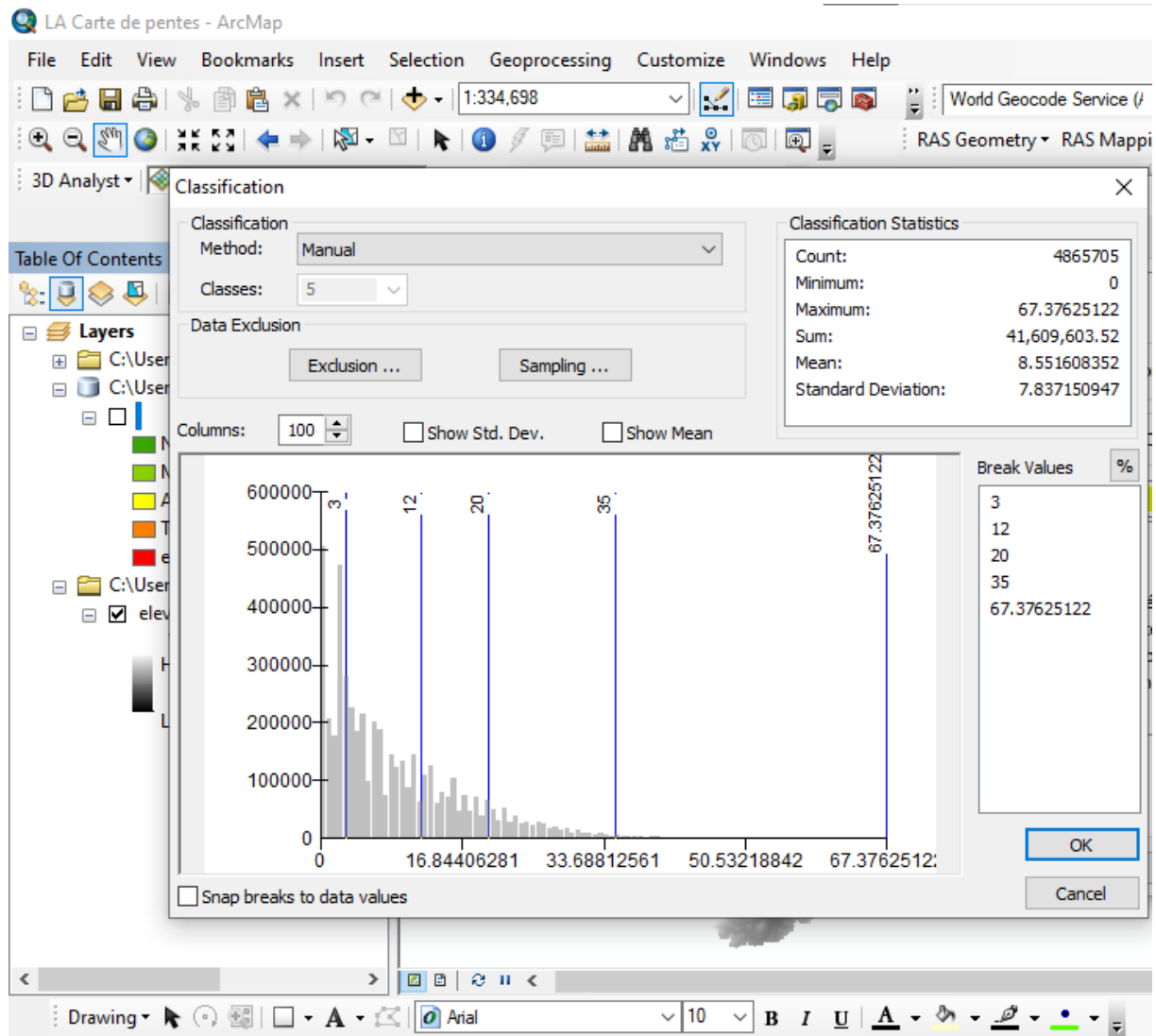


Figure 3 : Classification des pentes selon le code PAP/CAR (ArcGIS 10.2, 2024)

**Tableau I : Classes de pentes**

Code PAP/CAR :	Classe des pentes :
1	Nulle à faible (0-3%)
2	Modérée (3-12%)
3	Abrupte (12-20%)
4	Très abrupte (20-35%)
5	Extrême (>35%)

Après Nous avons modifié la symbologie des couches de la carte pour refléter ces 5 classes de pentes Nulle à faible (0-3%), Modérée (3-12%) ,Abrupte (12-20%) ,Très abrupte (20-35%) ,Extrême (>35%) .

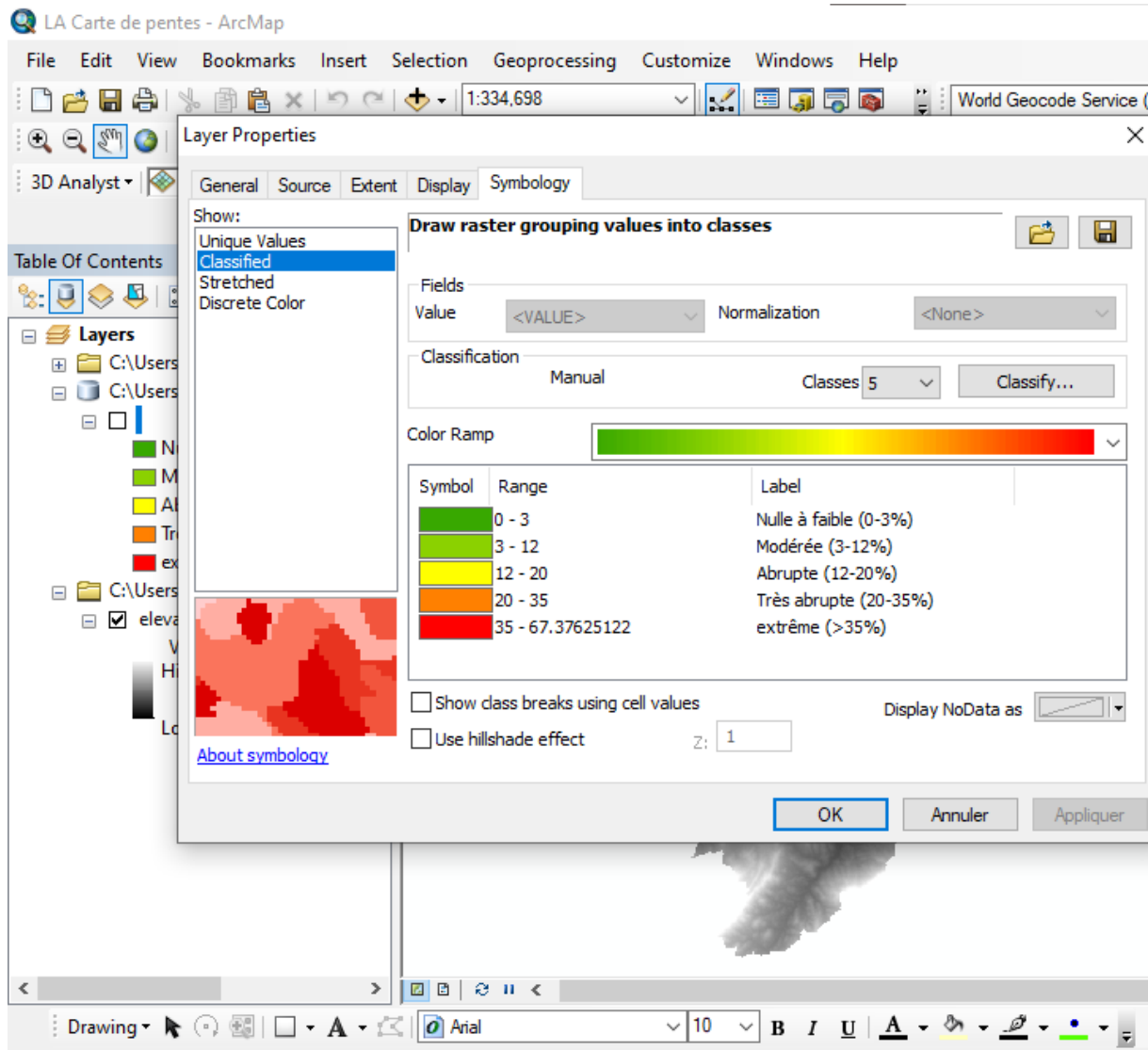


Figure 4 : Symbologie modifiée des pentes en 5 classes (ArcGIS 10.2, 2024)

### III.5.1.2 Résultat et interprétations :

En résultat, nous obtenons la carte finale des pentes.

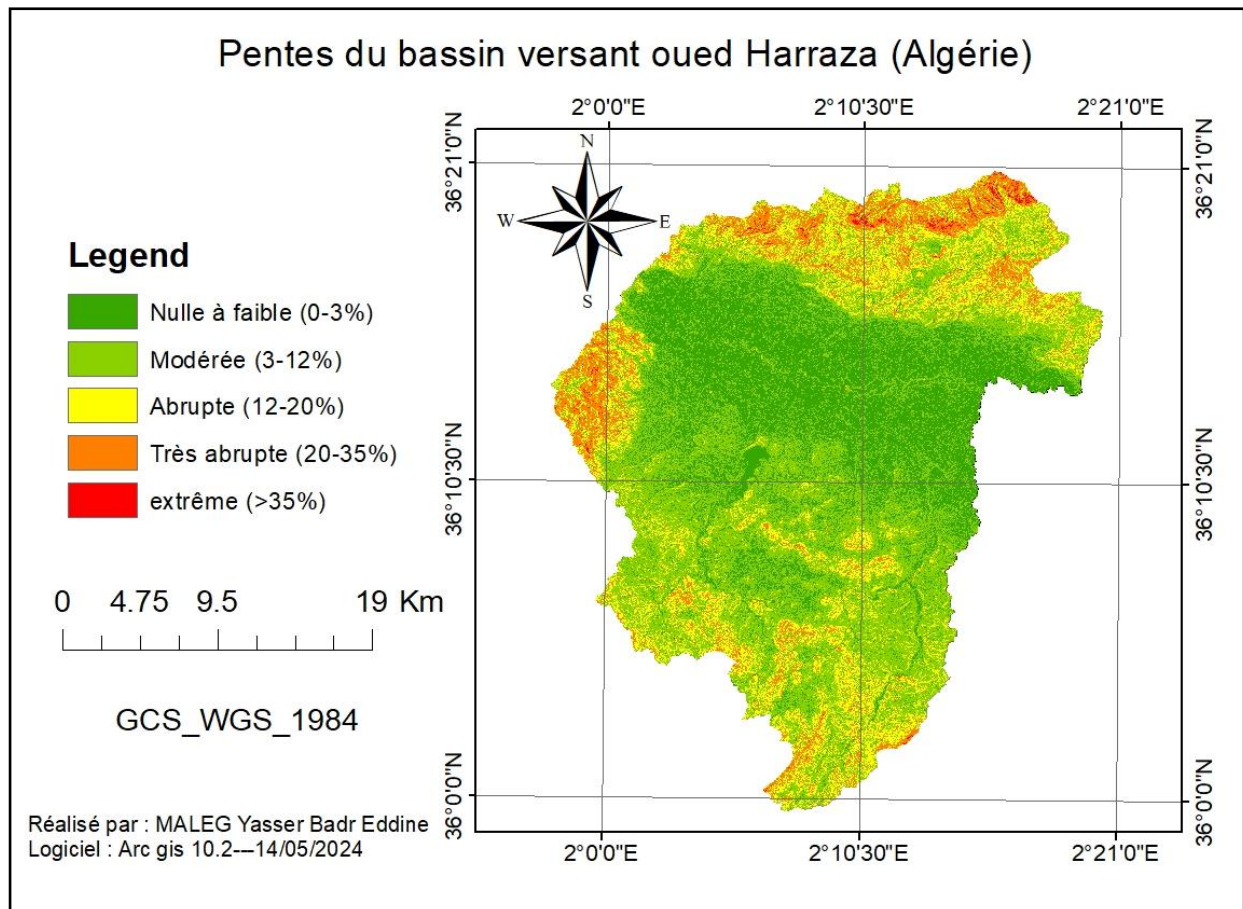


Figure 5 : Carte des pentes du bassin versant oued HARRAZA (ArcGIS 10.1, 2024)

La carte montre que les pentes du bassin versant D'OUED HARRAZA sont caractérisées par une classe dominante jusqu'à 12% de sa surface totale (faible à modérée), Et des pentes abruptes de 12 à 20 % et des pentes très abrupte et extrême plus de 20 % de sa surface totale

### III.5.2 Carte de Lithofaciés :

Cette carte (Fig. 3) illustre la répartition des terrains en fonction de leur degré de friabilité. Les différents affleurements sont classés en cinq catégories, chacune étant attribuée un code de friabilité : 1 pour les roches les plus dures, et progressivement 2, 3, 4 et 5 pour les roches de moins en moins dures. Le tableau II résume l'ordre de friabilité des substrats :

#### III.5.2.1 L'élaboration de la carte de Lithofaciés

Nous avons téléchargé les données géologiques depuis le site DIVA-GIS et découpé les formations géologiques selon les limites de notre bassin versant, en utilisant à nouveau la fonction "Clip". Ensuite, nous avons modifié la symbologie en 5 classes, en attribuant un code à chaque degré de friabilité, représenté dans le **Tableau II**.

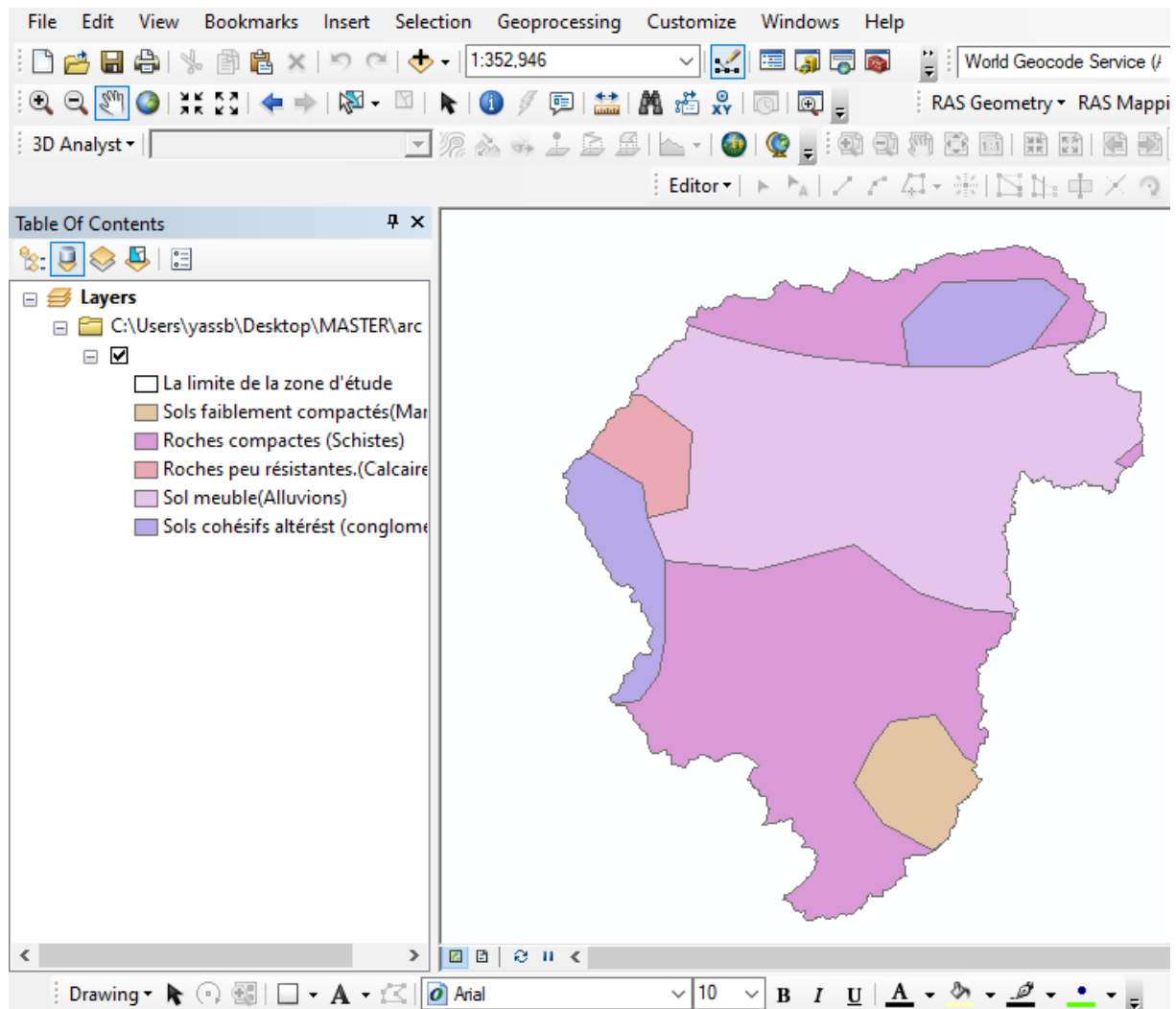


Figure 6 : Téléchargement et découpage des formations géologiques (ArcGIS 10.2, 2024)

**Tableau II** : classes de lithofaciés

Classes de lithofaciés	Type de matériel
1	Roches compactes non altérées, conglomérats fortement cimentés, affleurement de grès de calcaire ou des roches ignées ou éruptives.
2	Roches ou sols cohésifs fracturés ou modérément altérés.
3	Roches sédimentaires ou sols faiblement ou modérément compactés (marne, marno-calcaire).
4	Roches peu résistants et fortement altérés (gypse, schistes, encroûtement tuffeux, molasses...).
5	Sédiments ou sol meuble, non cohésif et matériel détritique.

### III.5.2.2 Résultat et interprétations :

Cela nous donne la carte finale des formations géologiques.

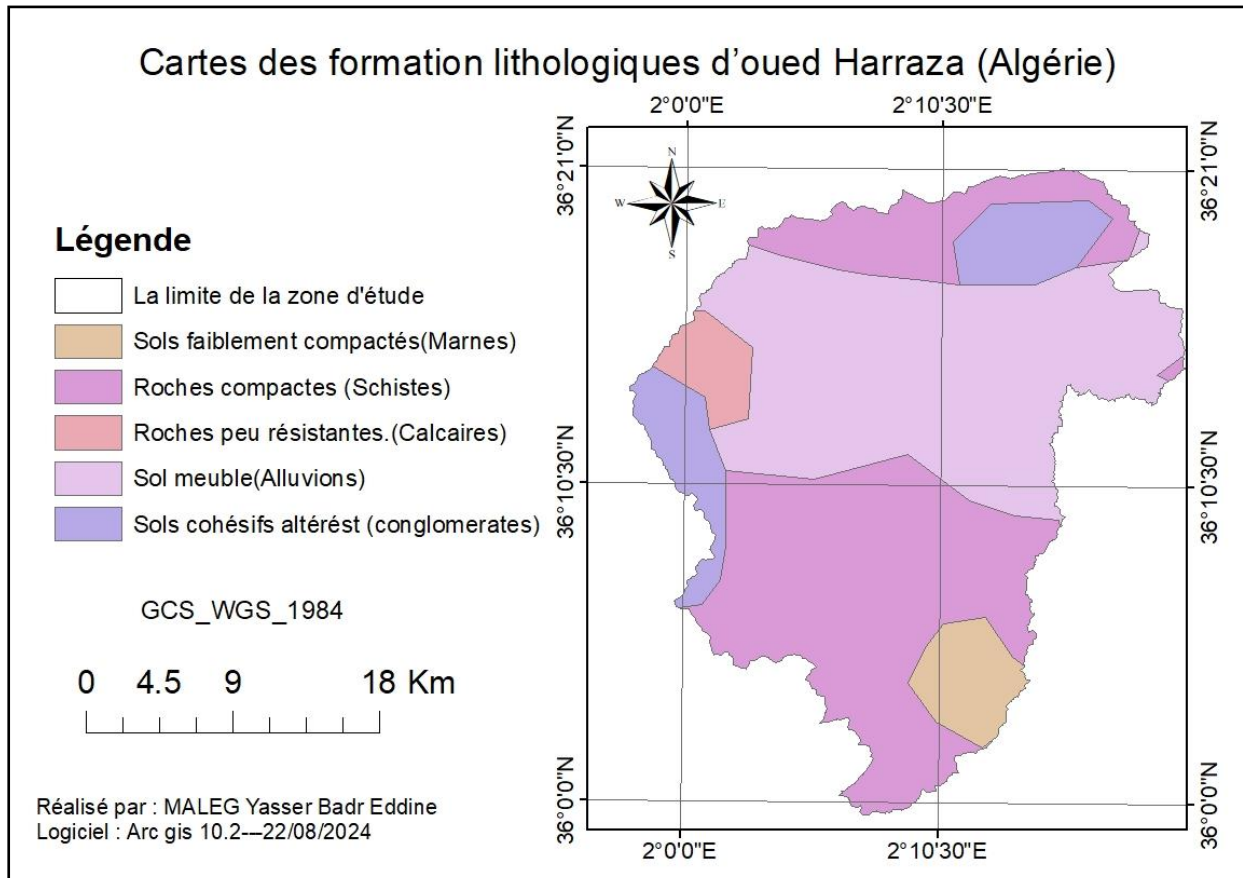


Fig.7 : Carte finale des formations géologiques oued HARRAZA (ArcGIS 10.2, 2024)

La majeure partie de la composition géologique de notre bassin versant est constituée de schistes, qui couvrent une superficie de 395,34 km<sup>2</sup>. Les alluvions s'étendent sur 281,13 km<sup>2</sup>, tandis que les calcaires et les granites occupent 60,82 km<sup>2</sup>. Les autres types de roches, comme les marnes, les grès et les sables, couvrent une superficie de 22,80 km<sup>2</sup>.

### III.5.3 La carte d'érodibilité

La Carte d'érodibilité est produite en superposant la carte de lithofaciès et la carte des pentes. L'érodibilité est déterminée dans les polygones résultants en appliquant la matrice suivante

#### III.5.3.1 L'élaboration de la carte d'érodibilité

Pour cela, nous avons superposé les deux cartes (lithofaciès et pente) à l'aide de l'outil "Intersect". Avant cette superposition, il était nécessaire de coder la carte des pentes en suivant la matrice indiquée dans le tableau 3

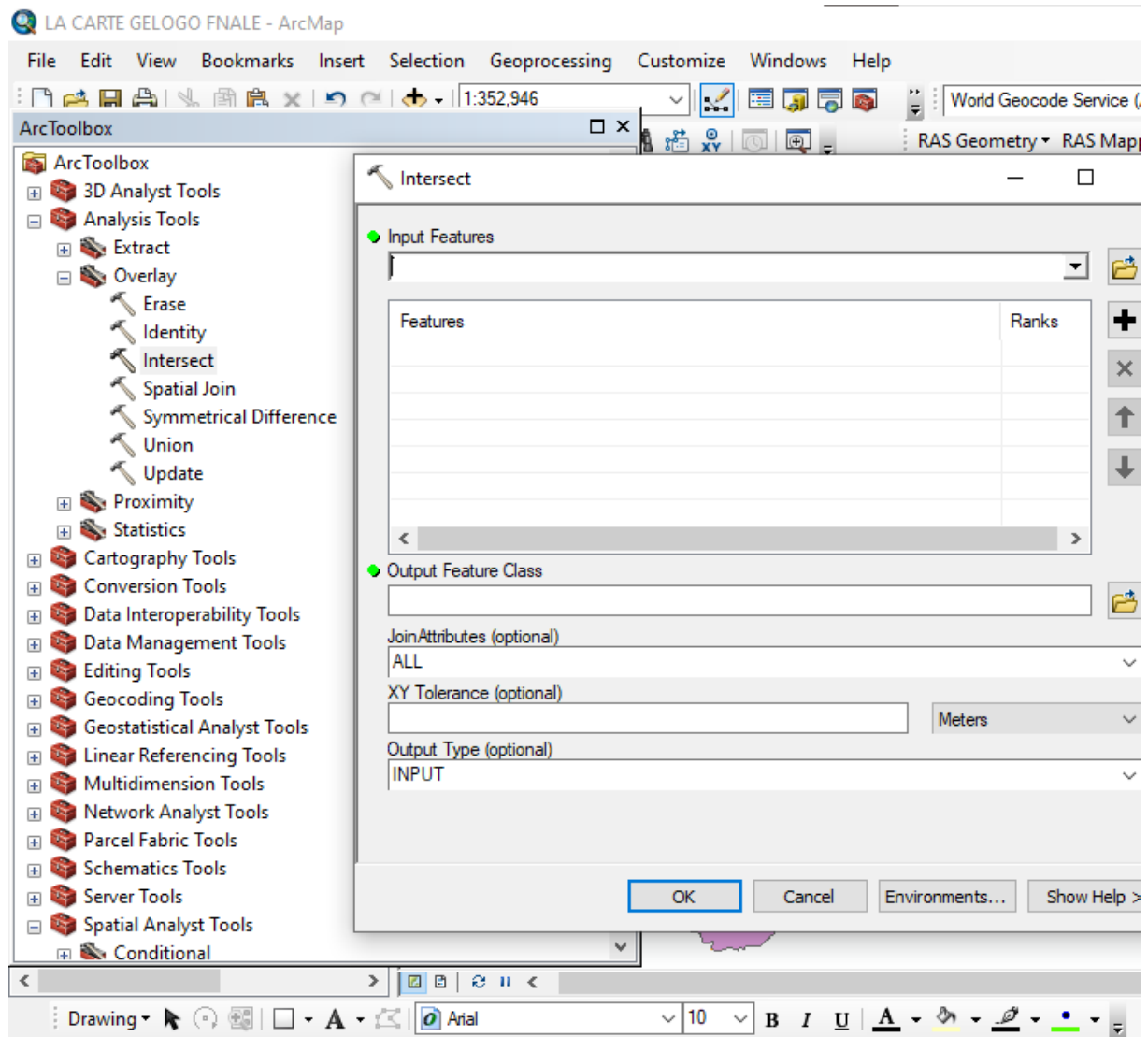


Figure 8 : Superposition des cartes de lithofaciés et de pentes (ArcGIS 10.2, 2024)

**Tableau III** : matrice d'érodibilité des sols

Classes de pentes :	Classes de lithofaciés :				
	1	2	3	4	5
1	1	1	1	1	2
2	1	1	2	3	3
3	2	2	3	4	4
4	3	3	4	5	5
5	4	4	5	5	5

Voici le résultat de la superposition des deux cartes (pentes et lithofaciès).

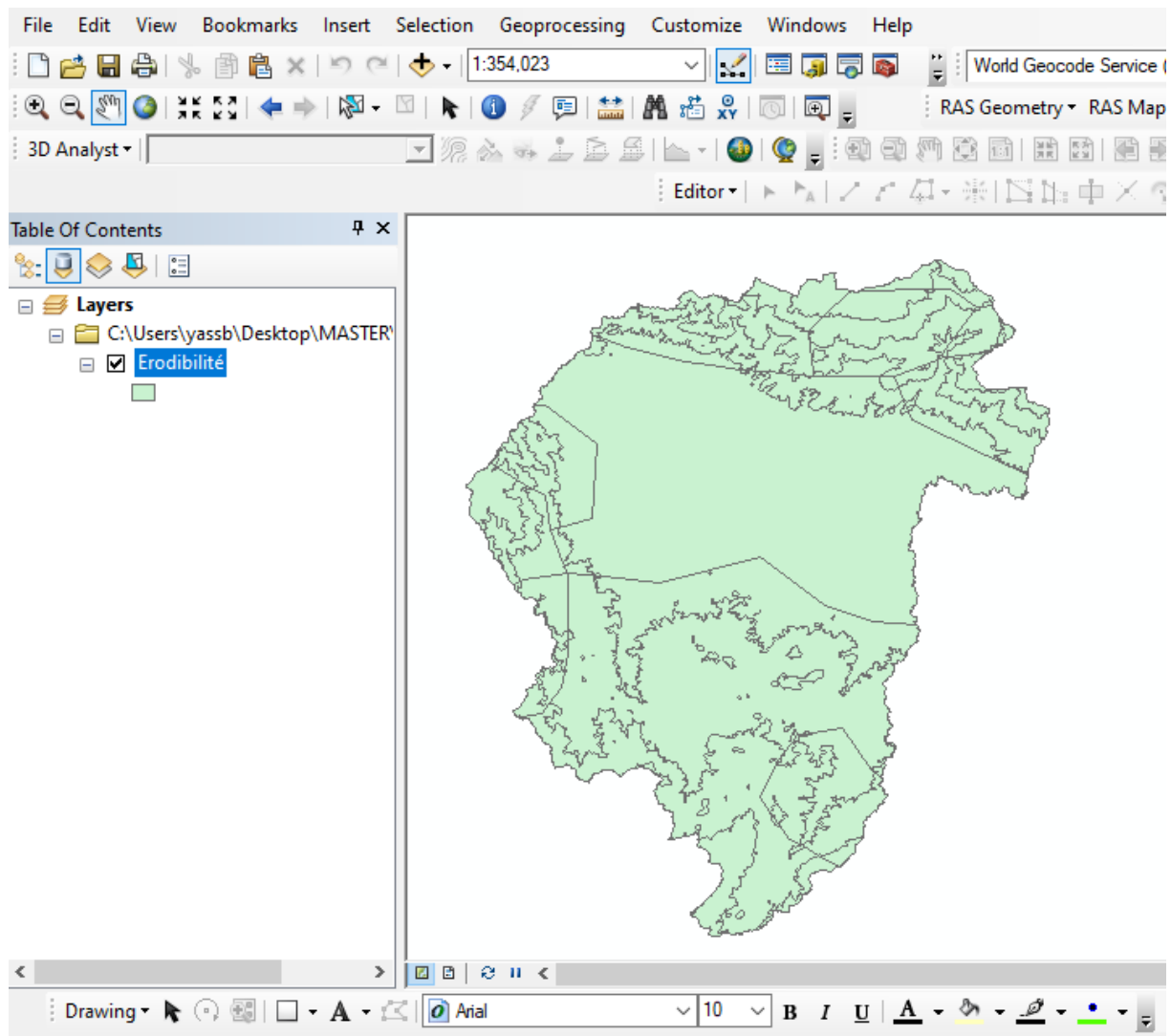


Fig.9 : résultat de la superposition (ArcGIS 10.2, 2024)

Nous avons créé un nouveau champ appelé "Érodibilité".

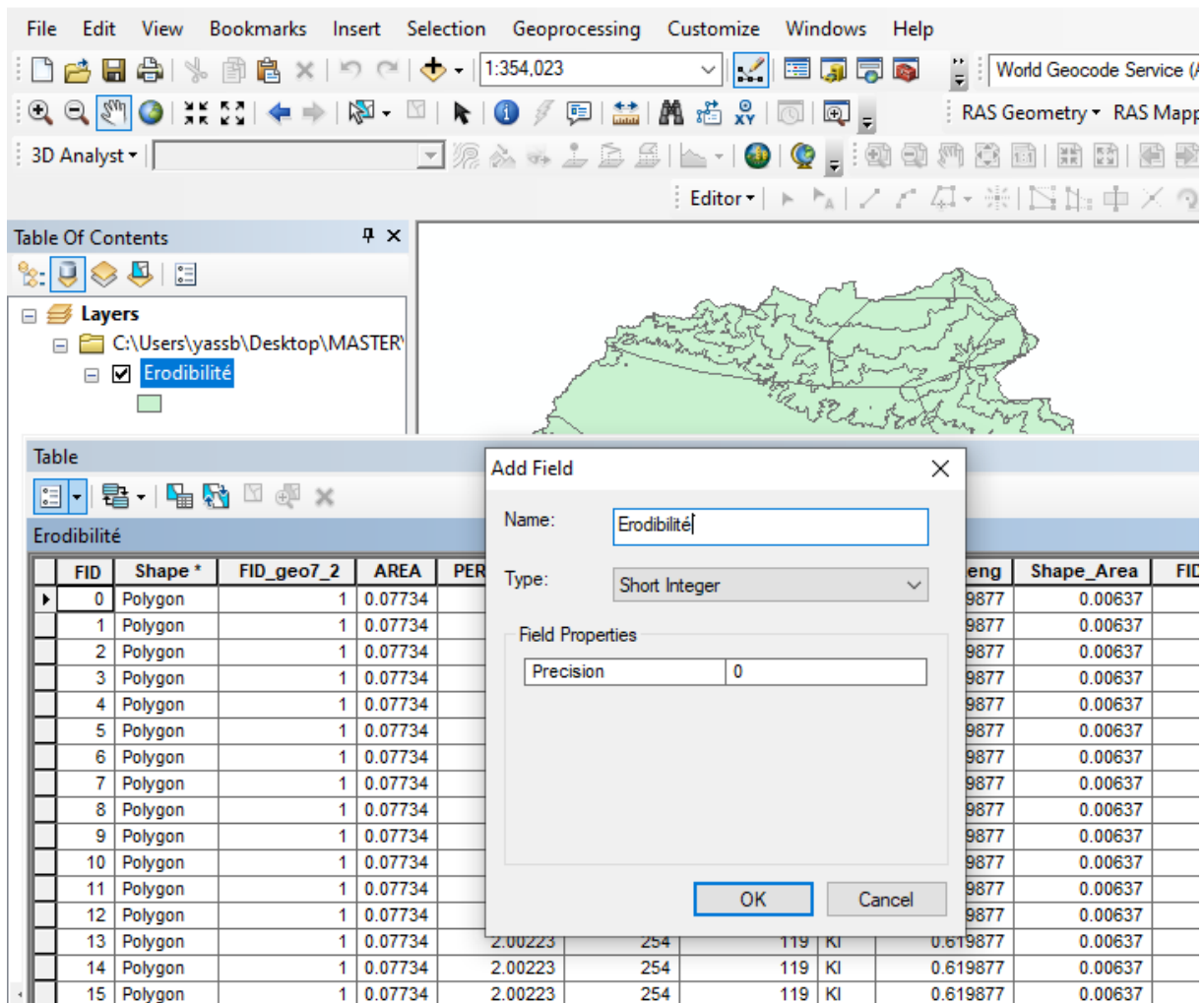


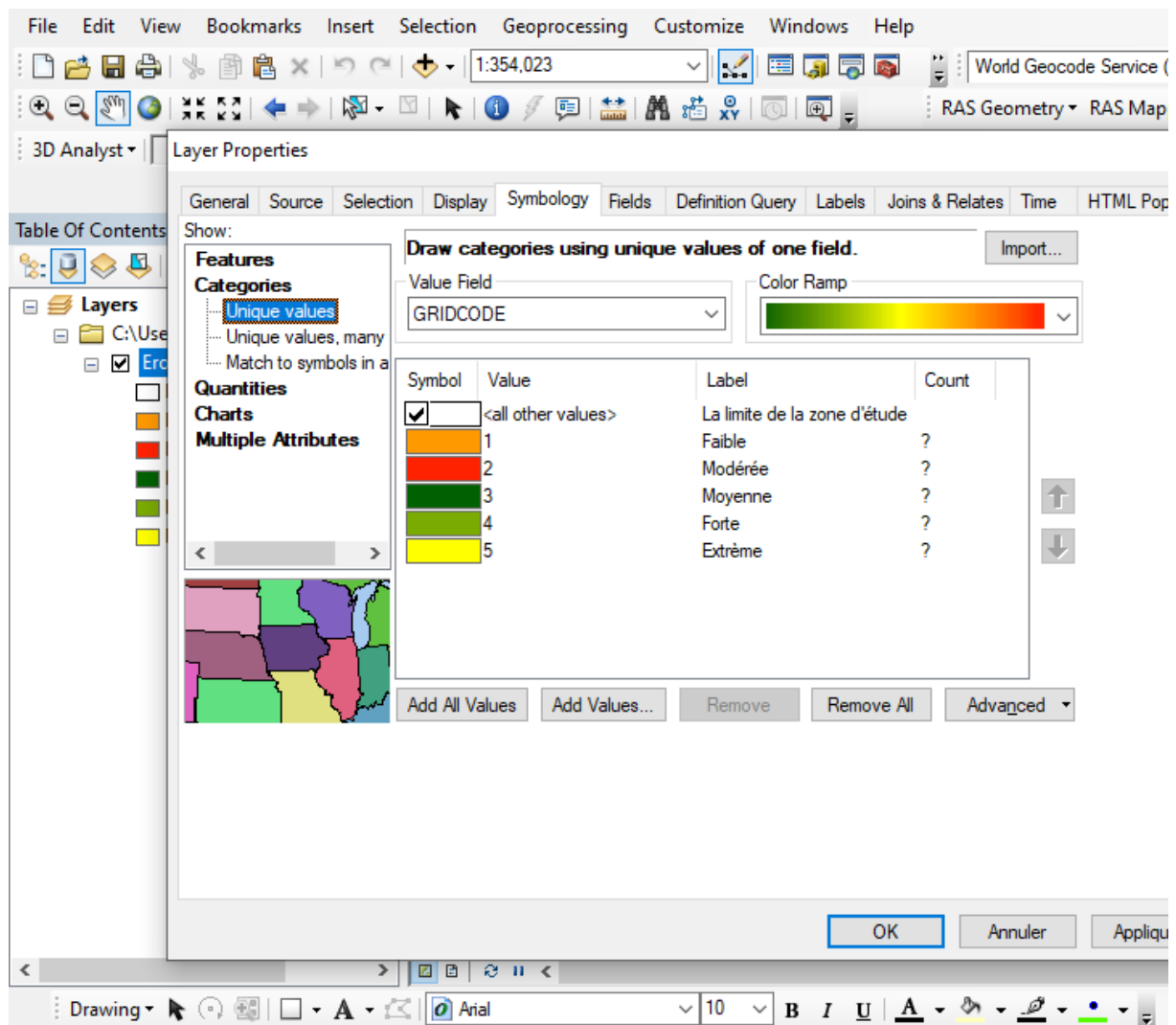
Fig.10 : Création du nouveau champ "Érodibilité" (ArcGIS 10.2, 2024)

Nous avons modifié ce champ via Excel et exporté les valeurs dans ce champ en fonction de la matrice.

**Tableau III** : matrice d'érodibilité des sols

Classes de pentes :	Classes de lithofaciés :				
	1	2	3	4	5
1	1	1	1	1	2
2	1	1	2	3	3
3	2	2	3	4	4
4	3	3	4	5	5
5	4	4	5	5	5

Ensuite, nous avons ajusté la symbologie des couches de la carte en 5 classes d'érodibilité : Faible, Modérée, Moyenne, Forte, et Extrême, conformément au tableau IV : Degrés d'érodibilité.



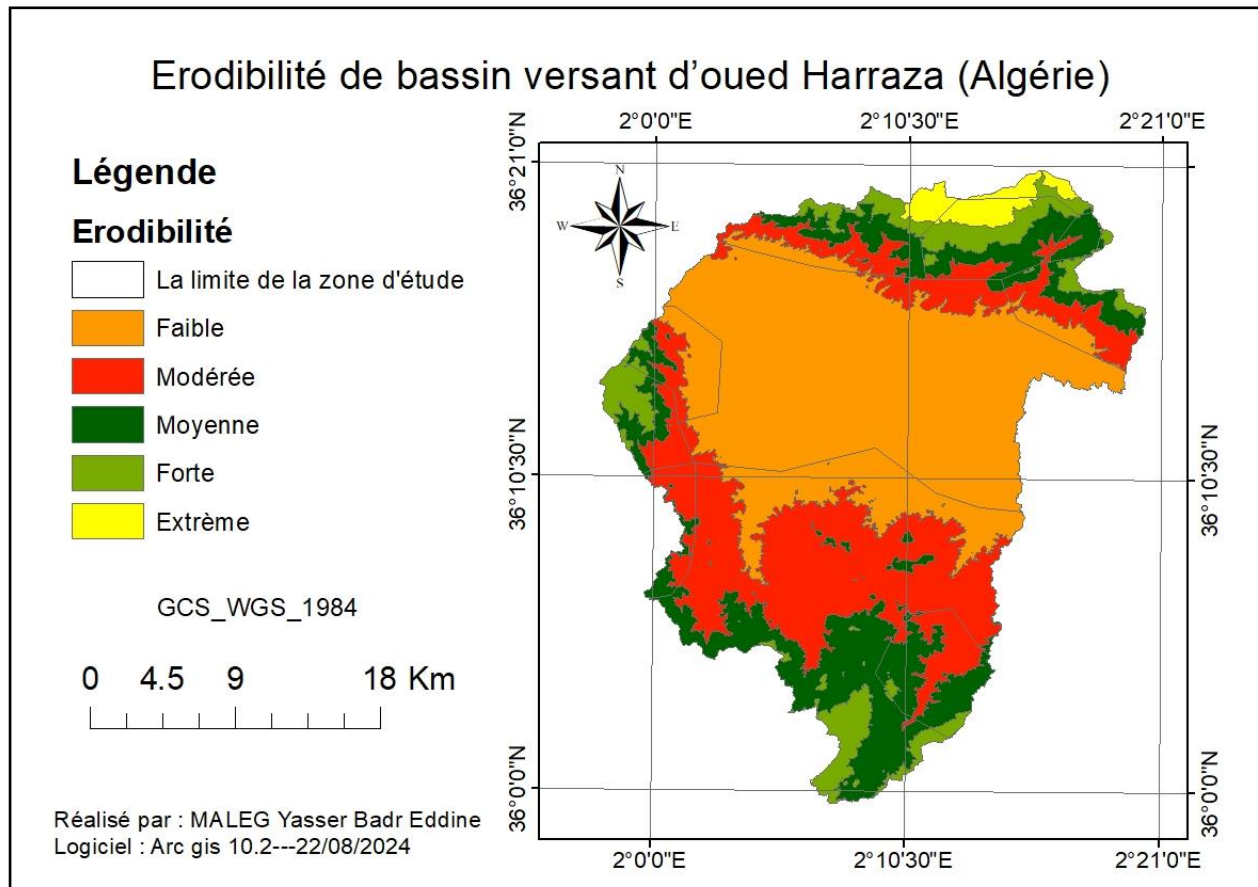
**Fig.11** : modification les couches selon degré d'érodibilité selon PAP/CAR(ArcGIS 10.2, 2024)

**Tableau IV** : Degrés d'érodibilité

Classes :	Degrés d'érodibilité
1	Faible
2	Modérée
3	Moyenne
4	Forte
5	Extrême

**III.5.3.2 Résultat et interprétations :**

Voici la carte finale d'érodibilité.



**Fig.12 :** Carte d'érodibilité des matériaux oued HARRAZA (ArcGIS 10.2, 2024)

La carte obtenue est ensuite examinée, et les classes d'érodibilité sont réparties conformément aux recommandations du PAP/CAR, comme résumé dans le tableau IV.

La carte ci-dessus illustre les classes d'érodibilité du bassin versant de l'oued HERRAZA. On observe que l'érodibilité est très élevée dans la partie nord de la zone, tandis qu'elle varie de faible à modérée au centre et au sud du bassin.

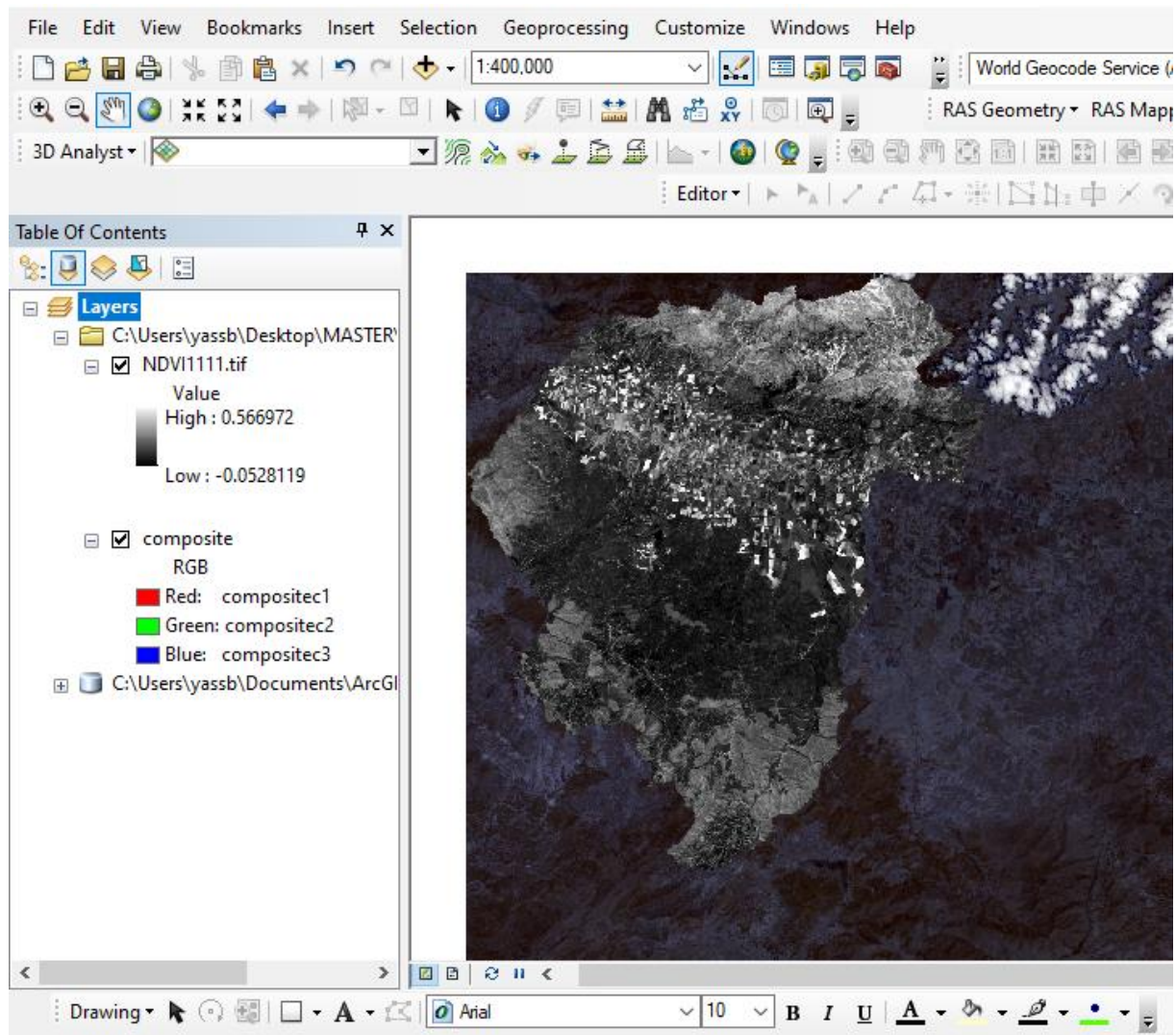
### III.6 La carte de degré de couvert végétal

La classification repose sur l'observation directe des différentes catégories d'utilisation des terres. Une carte du degré de couverture végétale est ainsi créée, distinguant quatre classes:

- Végétation clairsemée (moins de 25%),
- Végétation de densité moyenne (25% à 50%),
- Végétation dense (50% à 75%)
- Végétation très dense (plus de 75%).

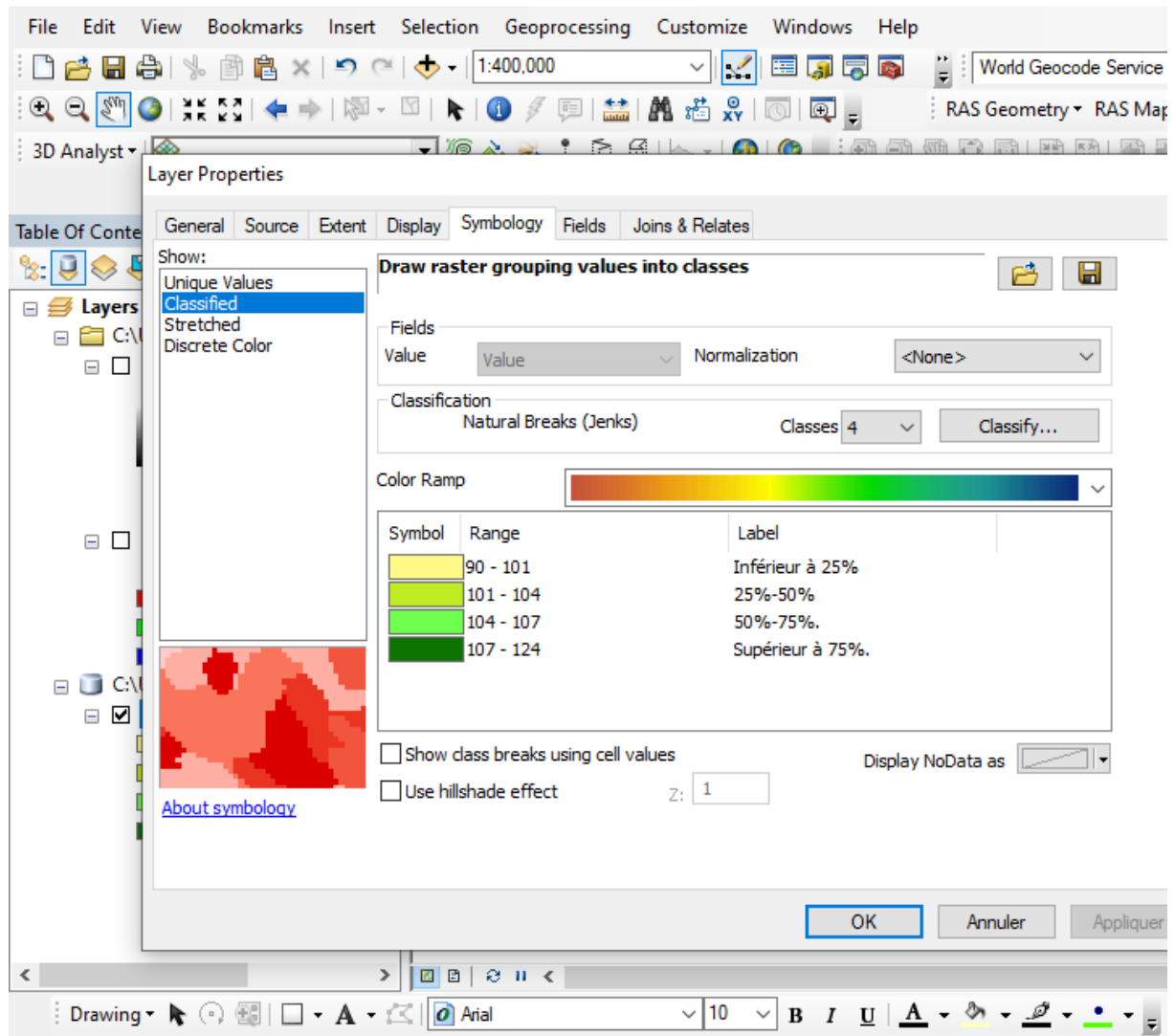
#### III.6.1 L'élaboration de la carte de degré de couvert végétal

Nous avons téléchargé le NDVI depuis le site ESRI, puis découpé selon les limites de notre bassin versant avec la fonction "Clip".



**Fig.13** : Téléchargement et découpage du NDVI selon les limites du bassin versant (ArcGIS 10.2, 2024)

Ensuite, nous avons classé la symbologie de la carte NDVI en fonction du tableau suivant. Chaque classe a une valeur comprise entre 1 et 4, où 1 correspond à la classe avec la plus faible couverture végétale et 4 à celle avec la plus forte.



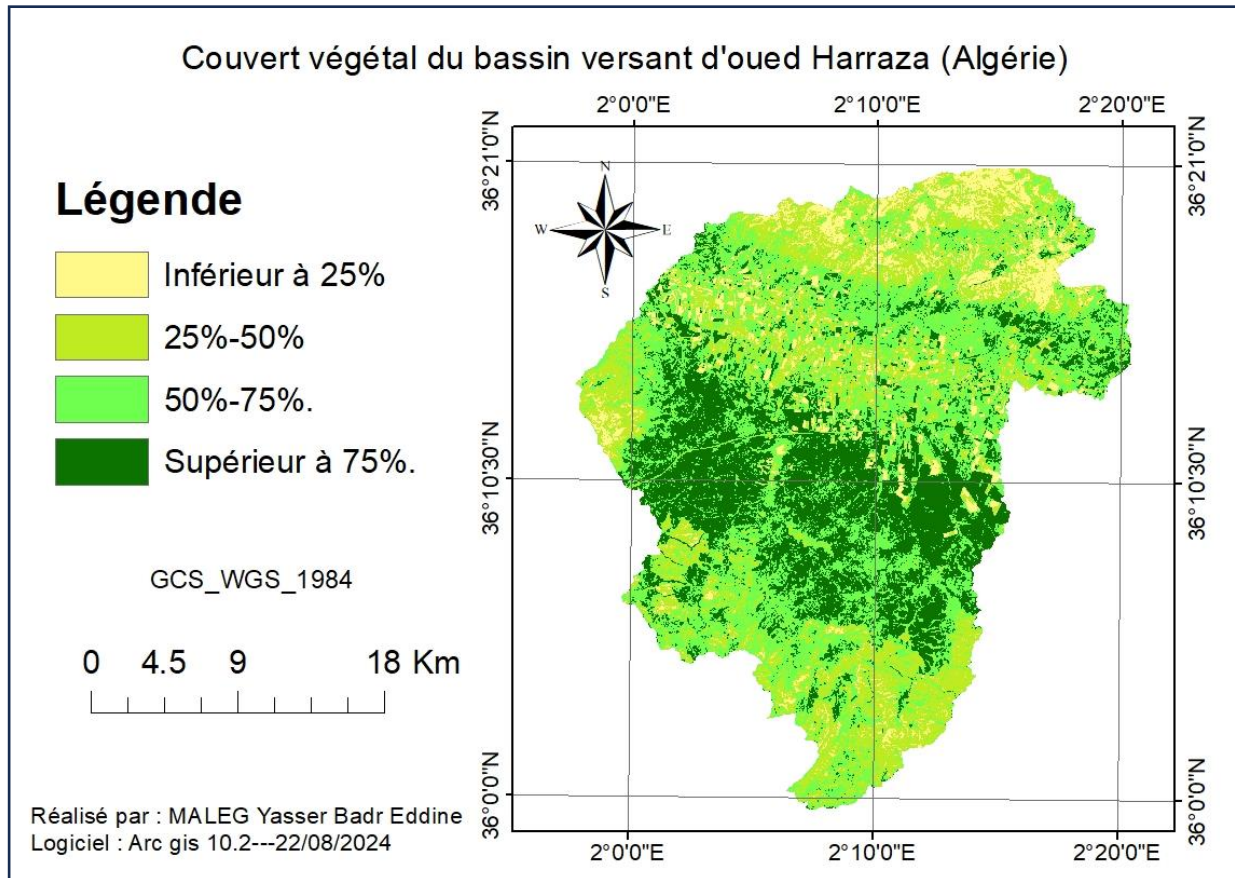
**Fig.14** : Classifications les couche selon Degré de couvert végétal de PAP/CAR (ArcGIS 10.2, 2024)

**Tableau V** : classes du degré de couvert végétal

Classes PAP/CAR	Degré de couvert végétal
1	Inférieur à 25%.
2	25%-50%.
3	50%-75%.
4	Supérieur à 75%.

**III.6.1.1 Résultat et interprétations :**

Voici le résultat final de la carte de degré de couvert végétal



**Fig.15 :** Carte de degré de couvert végétal oued HARRAZA (ArcGIS 10.2, 2024)

La répartition spatiale de la densité végétale montre que la végétation à faible densité (<25%) couvre 190,06 km<sup>2</sup>. La végétation de densité moyenne (25%-50%) s'étend sur 288,90 km<sup>2</sup>, représentant 38,63% de la superficie totale. La végétation de densité intermédiaire (50%-75%) occupe 144,60 km<sup>2</sup>, soit 19,02% de la surface totale. Enfin, la végétation dense (>75%) s'étend sur 228,08 km<sup>2</sup>.

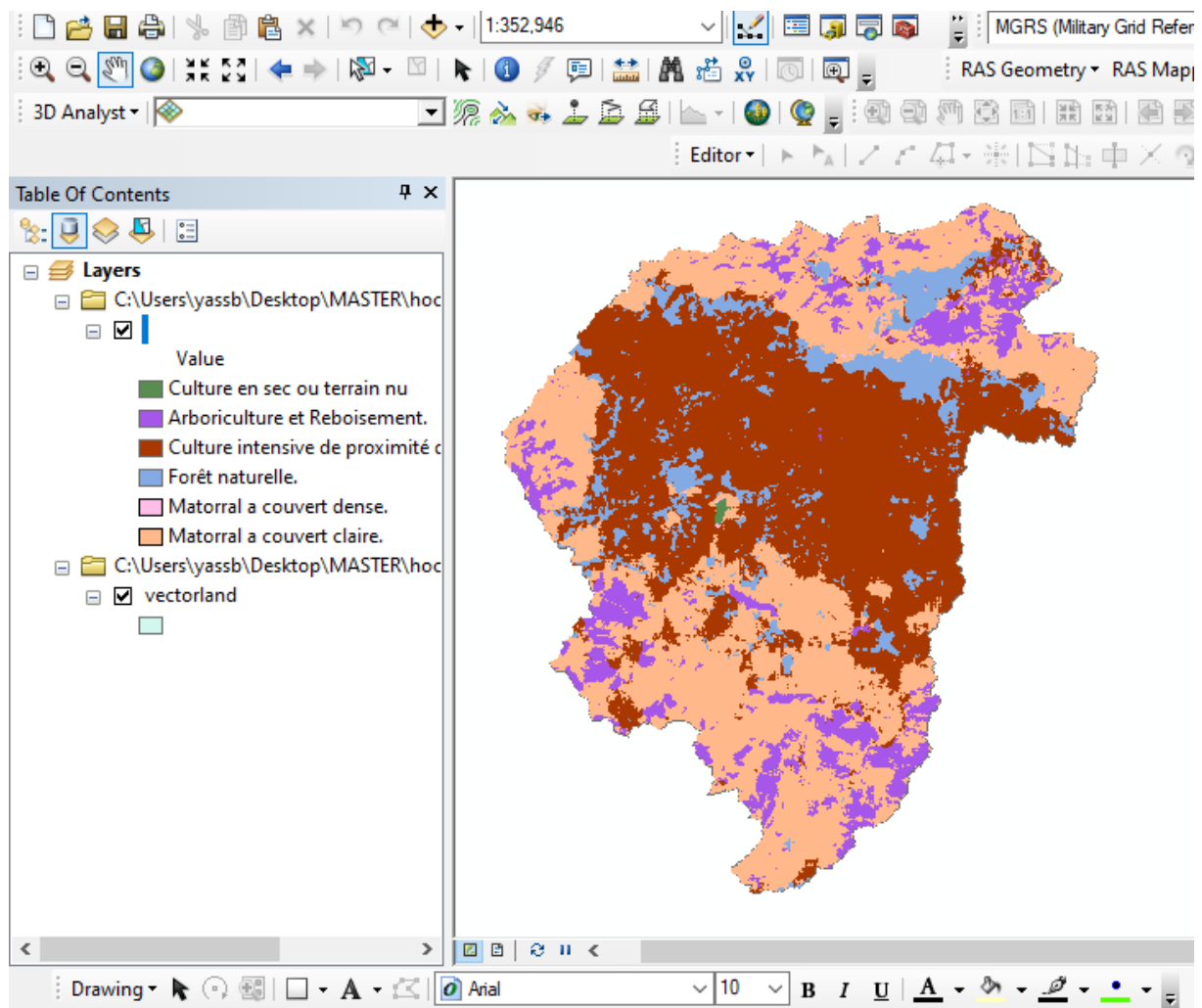
### III.6.2 La carte d'occupation des sols

#### III.6.2.1 L'élaboration la carte d'occupation des sols

La carte de l'occupation des sols a été élaborée à partir de la classification et de l'interprétation de l'image satellitaire Sentinel-2.

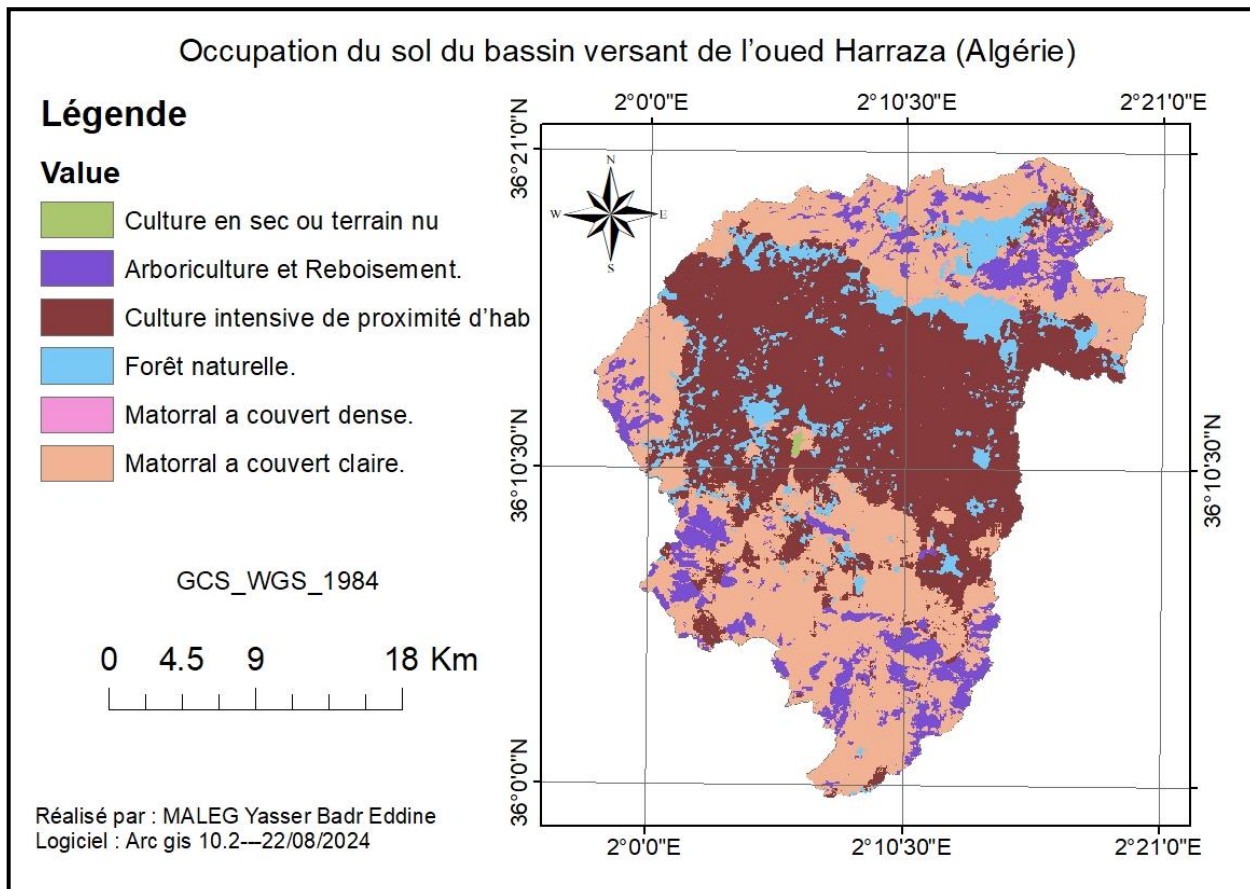
**Tableau VI : classe d'occupation du sol.**

Classes :	Occupation du sol :
1	Culture en sec ou terrain nu
2	Arboriculture et Reboisement.
3	Culture intensive de proximité d'habitation.
4	Forêt naturelle.
5	Matorral a couvert dense.
6	Matorral a couvert claire.



**Fig.16 : carte d'occupation du sol oued HARRAZA (ArcGIS 10.2, 2024)**

## III.6.2.2 Résultat et interprétations :



**Fig.17** : carte d'occupation du sol oued HARRAZA (ArcGIS 10.2, 2024)

Cette carte montre l'occupation des sols du bassin versant, avec une végétation très développée, comme les forêts naturelles, concentrée au centre, ainsi que des zones de cultures intensives. En revanche, de petites parcelles de terres nues ou sèches se trouvent au nord et au sud. Cette répartition entraîne une variation significative de la protection des sols dans la région

### III.7 Carte de protection du sol

La carte de protection est obtenue en superposant la carte de la densité de couvert végétal et la carte d'occupation des sols

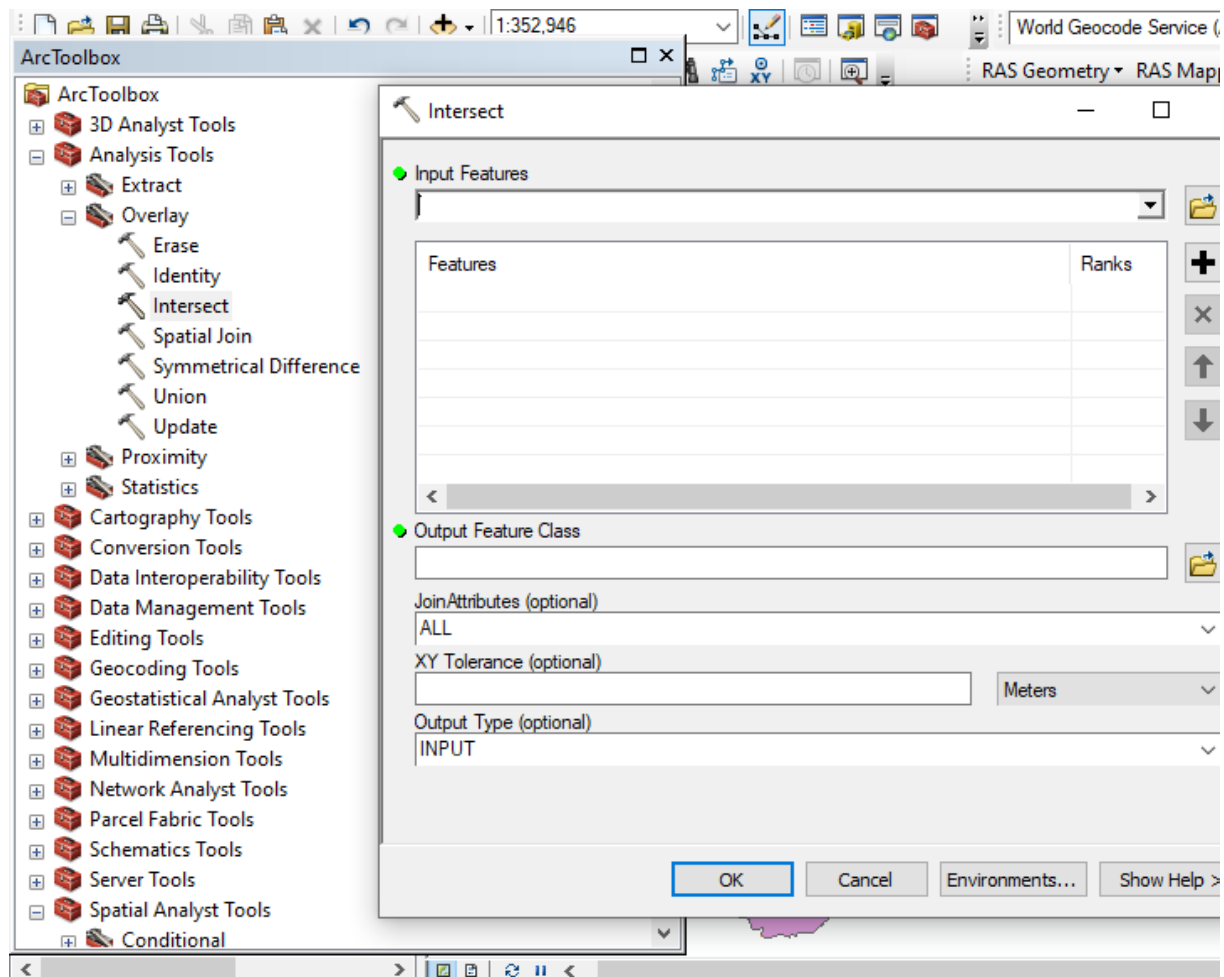


Figure 18 : Superposition des deux cartes (ArcGIS 10.2, 2024)

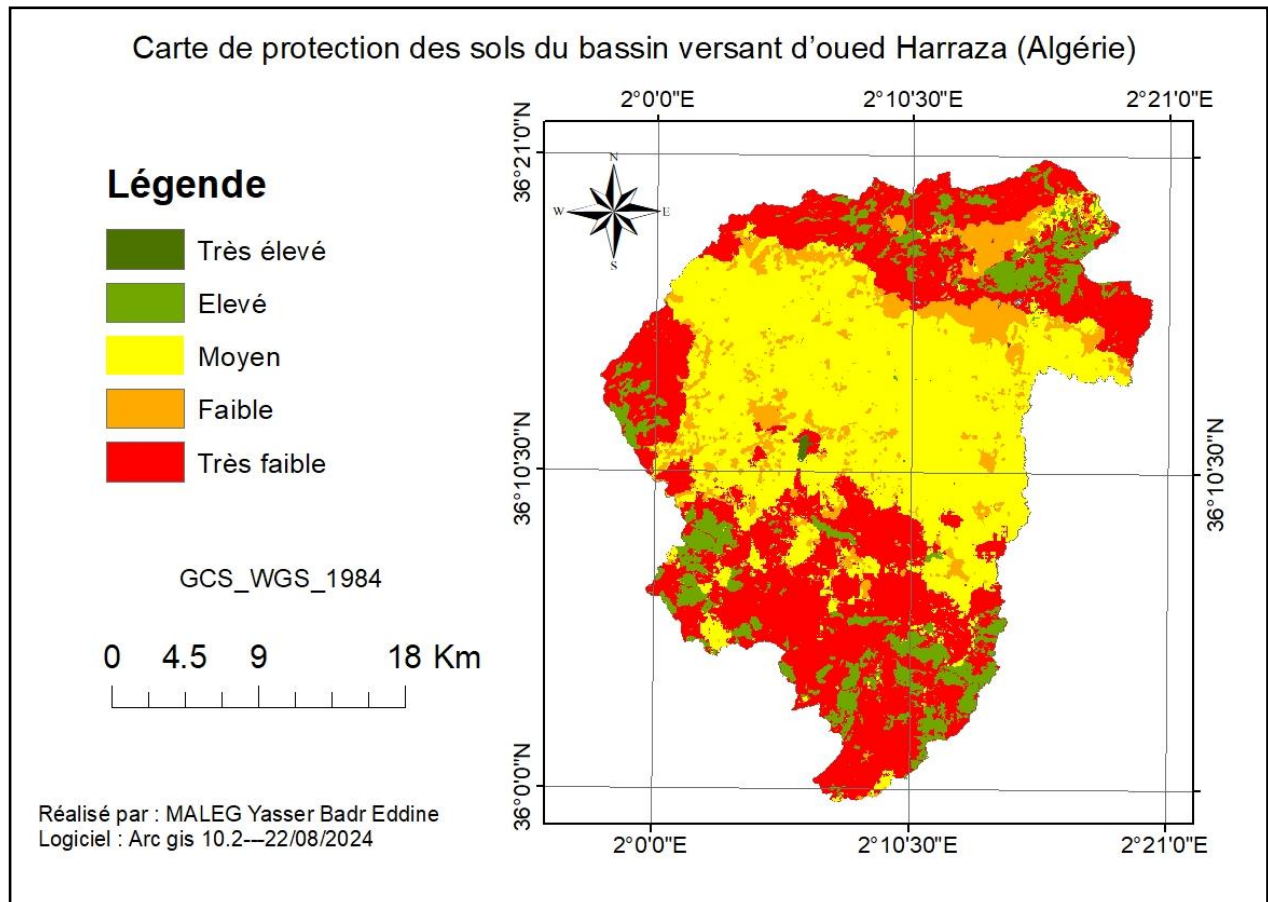
Nous avons superposé les deux cartes en utilisant la matrice suivante pour coder cette superposition.

**Tableau VII : matrice de protection des sols**

Occupation du sol	Degré de recouvrement végétal			
	1	2	3	4
1	5	5	4	4
2	5	5	4	3
3	3	2	1	1
4	4	3	2	1
5	5	4	3	2
6	5	4	3	2

**III.7.1 Résultat et interprétations :**

Voici la carte finale



**Fig. 20 :** Carte de protection des sols oued HARRAZA (ArcGIS 10.2, 2024)

Dans un contexte majoritaire, le sol de notre bassin versant est modérément protégé. On observe que le niveau de protection du sol est très faible au nord et au sud du bassin versant, tandis que pour le reste du bassin, le niveau est moyen.

### III.8 La carte d'état érosif

#### III.8.1 L'élaboration La carte d'état érosif

La carte des états érosifs (Fig. 8) est le produit final de la phase prédictive, résultant de la superposition de la carte d'érodibilité et de la carte des degrés de protection des sols. Cette superposition permet de hiérarchiser le bassin versant de l'oued HARRAZA en unités selon le degré de l'état érosif. La superposition est réalisée en appliquant la matrice présentée ce tableau

**Tableau IX : Matrice des états érosifs des sols**

Degré de protection des sols :	Degré d'érodibilité :				
	1	2	3	4	5
1	1	1	1	2	2
2	1	1	2	3	4
3	1	2	3	4	4
4	2	3	3	5	5
5	2	3	4	5	5

	D	E	F	G	H	I	J	K	L	M
1	GEO2_7G_	GEO2_7G_ID	GLG	Shape_Leng	Shape_Area	FID_raster ID	GRIDCODE	erodibilitÚ		
2	254.000000000000	119.000000000000	KI	0.61987661593	0.00637027128	0	1	5	0	
3	254.000000000000	119.000000000000	KI	0.61987661593	0.00637027128	3	4	4	0	
4	254.000000000000	119.000000000000	KI	0.61987661593	0.00637027128	4	5	4	0	
5	254.000000000000	119.000000000000	KI	0.61987661593	0.00637027128	5	6	4	0	
6	254.000000000000	119.000000000000	KI	0.61987661593	0.00637027128	6	7	4	0	
7	254.000000000000	119.000000000000	KI	0.61987661593	0.00637027128	7	8	4	0	
8	254.000000000000	119.000000000000	KI	0.61987661593	0.00637027128	8	9	4	0	
9	254.000000000000	119.000000000000	KI	0.61987661593	0.00637027128	9	10	5	0	
10	254.000000000000	119.000000000000	KI	0.61987661593	0.00637027128	10	11	4	0	
11	254.000000000000	119.000000000000	KI	0.61987661593	0.00637027128	11	12	2	0	
12	254.000000000000	119.000000000000	KI	0.61987661593	0.00637027128	14	15	3	0	
13	254.000000000000	119.000000000000	KI	0.61987661593	0.00637027128	17	18	2	0	
14	254.000000000000	119.000000000000	KI	0.61987661593	0.00637027128	18	19	4	0	
15	254.000000000000	119.000000000000	KI	0.61987661593	0.00637027128	19	20	3	0	
16	254.000000000000	119.000000000000	KI	0.61987661593	0.00637027128	21	22	3	0	
17	254.000000000000	119.000000000000	KI	0.61987661593	0.00637027128	22	23	3	0	
18	254.000000000000	119.000000000000	KI	0.61987661593	0.00637027128	31	32	3	0	
19	254.000000000000	119.000000000000	KI	0.61987661593	0.00637027128	34	35	2	0	
20	254.000000000000	119.000000000000	KI	0.61987661593	0.00637027128	89	90	1	0	

**Figure 21 : Modification du champ "Érodibilité" à partir d'Excel**

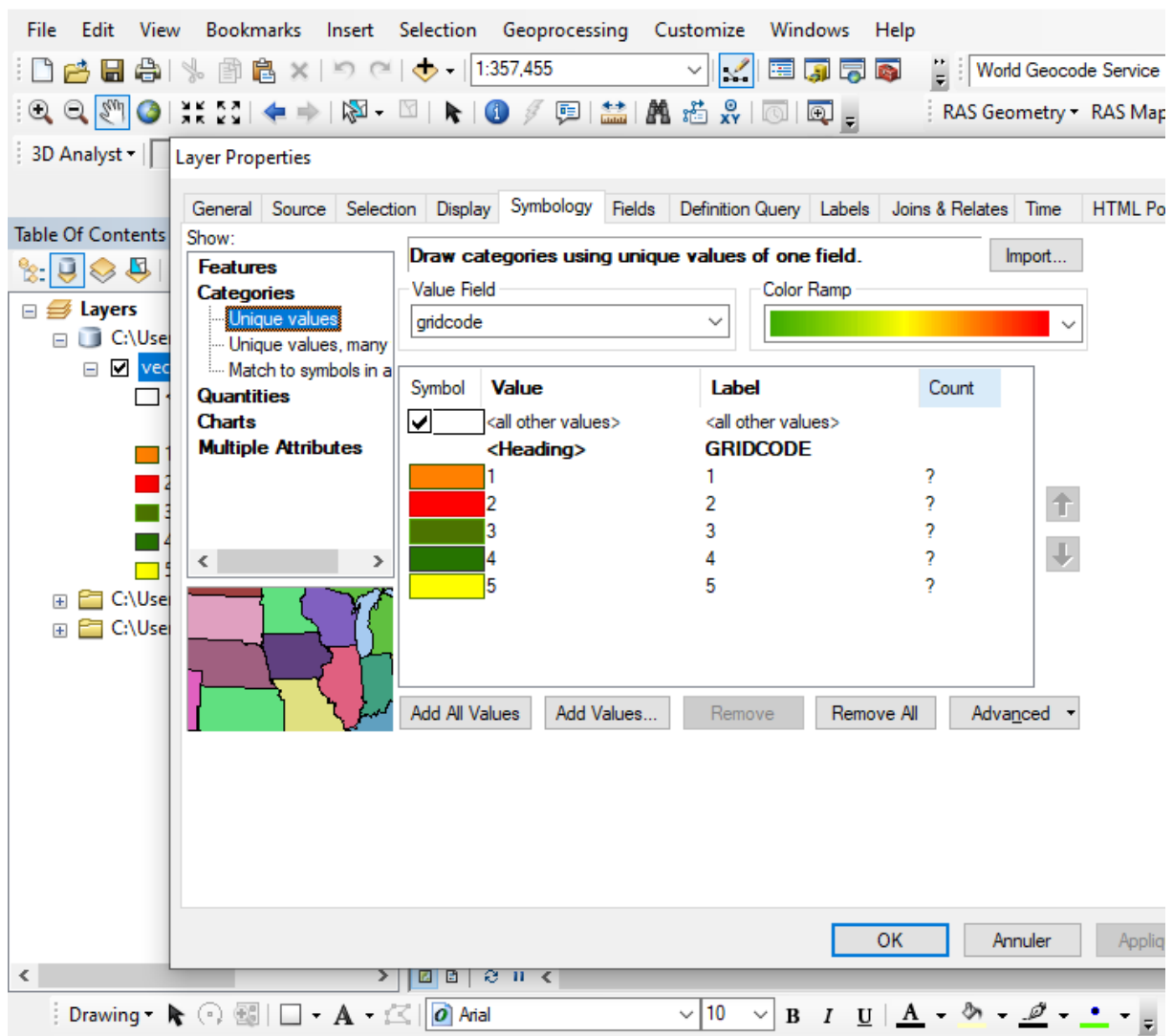


Fig.22 : Classifications les couche selon Degrés des états érosifs de PAP/CAR (ArcGIS 10.2, 2024)

Tableau X : codification des états érosifs

Classes :	Degrés des états érosifs :
1	Érosion très faible
2	Érosion faible
3	Érosion notable
4	Érosion élevé
5	Érosion très élevé

### III.8.2 Résultat et interprétations :

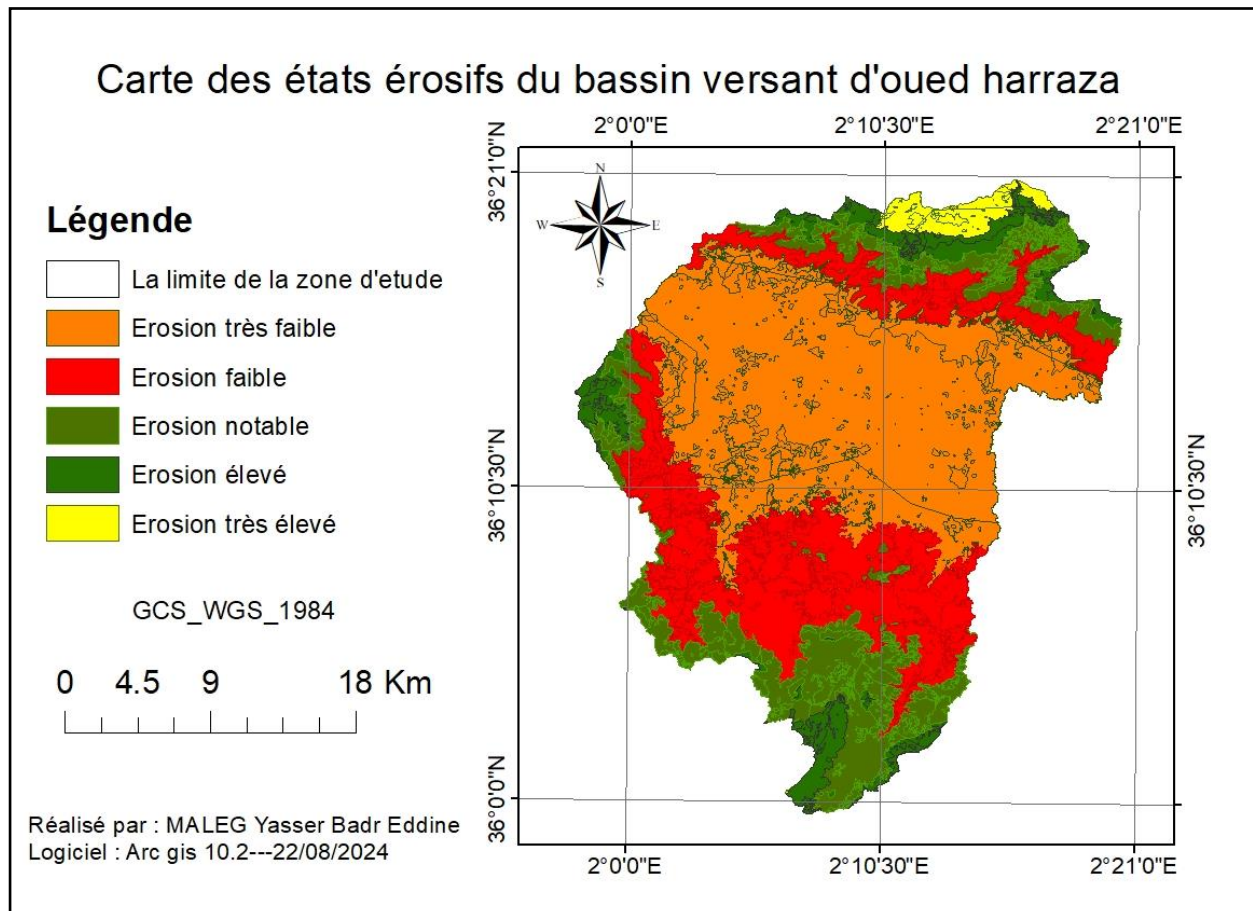


Fig. 23 : Carte des états érosifs oued HARRAZA (ArcGIS 10.2, 2024)

D'après la carte, l'érosion est très faible dans le centre et le sud du bassin versant avec une surface de 456.16 km<sup>2</sup>, qui représente 62% de la surface totale. De même, l'érosion est élevée dans le nord et le sud avec une surface de 243.28 km<sup>2</sup> (31.1% du surface totale) et extrême au nord avec une surface de 76.02 km<sup>2</sup>

### III.9 Avantages de la méthode PAP/CAR par rapport aux autres méthodes d'estimation de l'érosion hydrique

Dans l'étude de l'érosion hydrique, plusieurs méthodes sont utilisées pour estimer les taux d'érosion, telles que le modèle RUSLE (Revised Universal Soil Loss Equation) et le modèle WEPP (Water Erosion Prediction Project), chacune ayant ses avantages et ses limites. Le modèle RUSLE, par exemple, est relativement facile à utiliser et fournit des estimations globales de l'érosion basées sur des données facilement disponibles telles que les caractéristiques du sol, la pente et la couverture végétale. Cependant, il peut s'avérer inexact

dans les zones présentant des conditions environnementales ou géographiques particulières et nécessite des données précises et actualisées sur les précipitations et les activités humaines pour garantir la précision des résultats. En revanche, le modèle WEPP offre des prévisions précises grâce à ses modèles dynamiques de flux d'eau et de sol, et permet d'analyser les impacts des changements d'utilisation des terres et des pratiques de gestion. Toutefois, ce modèle est plus complexe et requiert des données complètes et précises, ce qui peut nécessiter davantage de temps et d'efforts par rapport à certaines autres méthodes.

La méthode PAP/CAR présente des avantages notables qui en font un outil efficace pour l'estimation de l'érosion hydrique, notamment dans des contextes spécifiques tels que l'étude du bassin en Algérie. Parmi les avantages de la méthode PAP/CAR, sa grande flexibilité d'application se distingue, car elle peut être ajustée en fonction des caractéristiques locales et climatiques, ce qui améliore la précision des résultats dans des conditions particulières. De plus, cette méthode prend en compte une large gamme de facteurs influençant l'érosion, y compris les caractéristiques du sol, le climat et les utilisations des terres, ce qui permet une évaluation plus complète de l'érosion. La focalisation sur les spécificités environnementales du bassin permet à PAP/CAR de fournir des estimations précises et utiles pour la gestion des sols et des eaux. Enfin, cette méthode est relativement simple par rapport aux modèles dynamiques complexes tels que WEPP, ce qui en fait un outil précieux pour l'évaluation sans nécessiter de données extrêmement détaillées. En définitive, la méthode PAP/CAR se distingue comme une option adaptée et efficace pour l'estimation de l'érosion hydrique, en faisant un choix privilégié dans des contextes spécifiques comme celui de votre étude

### **Conclusion**

L'utilisation de la télédétection et des SIG a été essentielle pour évaluer les risques d'érosion hydrique dans le bassin versant de l'oued HARRAZA. La carte érosive montre que 62 % de la surface, principalement au centre et au sud, présente une érosion très faible, tandis que 31,1 % du nord et du sud sont fortement érodés, et 76,02 km<sup>2</sup> au nord subissent une érosion extrême. En appliquant le modèle PAP/CAR et en croisant diverses cartes, nous avons pu identifier les zones à haut risque d'érosion, offrant ainsi des indications précieuses pour la gestion de ces risques.

## **Conclusion Générale**

Cette étude se penche sur le problème de l'érosion hydrique dans le bassin versant de l'Oued HARRAZA, avec comme principal objectif de déterminer les zones prioritaires où des interventions sont nécessaires. Elle a également permis de créer une carte détaillant l'état d'érosion du bassin grâce à des techniques de modélisation.

L'utilisation des systèmes d'information géographique (SIG) a joué un rôle clé en permettant d'évaluer et de cartographier la vulnérabilité du bassin à l'érosion hydrique en utilisant la méthode PAP/CAR. Cette méthode tient compte de facteurs essentiels comme la pente, la lithologie, l'occupation des sols et la couverture végétale.

Les résultats montrent que 62 % de la superficie du bassin, surtout au centre et au sud, subit une érosion très faible. Par contre, 31,1 % du nord et du sud sont fortement érodés, et 76,02 km<sup>2</sup> au nord subissent une érosion extrême. Grâce au modèle PAP/CAR et à l'analyse de différentes cartes, nous avons pu identifier les zones à haut risque, fournissant ainsi des informations précieuses pour la gestion de l'érosion.

La dégradation des ressources naturelles, telles que les forêts, l'eau, les sols et la biodiversité, ainsi que des infrastructures, affecte directement la qualité de vie des habitants, tant sur les plans économiques que sociaux. Il est donc crucial d'intervenir pour contrôler l'érosion en adoptant une approche équilibrée qui répond à la fois aux besoins des communautés locales et à la préservation des ressources naturelles.

## Références bibliographiques

- Albergel, J., et al. (2001, 2003). *Soil Erosion Models*. Springer.
- Ali, S. A., Kheir, A. M. S., & Sayed, A. A. M. (2019). Assessment of soil erosion risk using GIS and remote sensing techniques: A case study of the Asir region, Saudi Arabia. *Arabian Journal of Geosciences*, 12(9), 1-15.
- Ammari, T. (2012). *Impact des précipitations sur l'érosion des sols*. Journal of Hydrology, 448, 108-120.
- Arnold, J. G., et al. (1989). *Large Area Hydrologic Modeling and Assessment*. American Society of Civil Engineers.
- Barakat, A., Khellouk, R., El Baghdadi, M., Rais, J., & El Moutaki, S. (2019). Soil erosion risk assessment using the PAP/RAC guidelines and GIS techniques in the Mediterranean environments: A case study of the coastal area of Al-Hoceima, Morocco. *Journal of African Earth Sciences*, 151, 226-236.
- Batti, S., & Depraetere, C. (2007). *Soil Erosion and Conservation*. John Wiley & Sons.
- Borrelli, P., Robinson, D. A., Fleischer, L. R., Lugato, E., Ballabio, C., & Panagos, P. (2017). An assessment of the global impact of 21st century land use change on soil erosion. *Nature Communications*, 8, 2013.
- Bouanani, A. (2005). *Soil Erosion in Maghreb Regions*. John Wiley & Sons.
- Brown, R., Green, L., & White, S. (2010). Remote Sensing and GIS for Soil Erosion Assessment. *International Journal of Remote Sensing*, 31(12), 3245-3260.
- Comité interministériel de terminologie de la télédétection (1988). *Normes et définitions officielles en télédétection*. Paris : Éditions Techniques.
- Davis, P., Smith, J., & Lee, K. (2008). Empirical Models for Soil Erosion Prediction. *Environmental Modeling & Software*, 23(5), 678-689.
- Dupont, A., & Martin, P. (2003). *Rainfall intensity and kinetic energy: A relationship study*. *Journal of Hydrological Sciences*, 48(3), 219-227.
- **Dupont, J., & Leroy, A. (2020). *Integration of Remote Sensing and GIS in Hydrological Modeling*. *Journal of Hydrology and Environmental Management*, 35(4), 215-230.**

- Durand, A., & Lefevre, M. (2006). *Runoff velocity and its impact on soil erosion: A comprehensive analysis*. *Journal of Environmental Hydrology*, 14(2), 101-110.
- El Jazouli, A., Barakat, A., Khellouk, R., Rais, J., & El Mandour, A. (2017). Application of the PAP/CAR method to assess soil erosion risk in the agricultural area of Saiss plain (Northern Morocco). *International Soil and Water Conservation Research*, 5(4), 286-295.
- Hadj Ali, S., Bencheikh, N., & Hammadi, R. (2016). Impact of sedimentation on the capacity of Algerian dams: Case study of Beni Haroun Dam. *Water Resources Management*, 30(9), 3023-3034.
- Hassan, M., Govers, G., & Poesen, J. (2006). *Soil erosion processes and modeling*. In *Soil Erosion and Conservation* (pp. 47-66). Wiley-Blackwell.
- Johnson, M., Lee, K., & Davis, J. (2018). GIS Applications in Land Use Planning. *Geographical Information Systems Journal*, 15(2), 89-102.
- Lee, K., Brown, R., & Davis, P. (2007). Integrating Spatial Data for Erosion Risk Mapping. *Geographical Information Systems Journal*, 12(3), 234-245
- Lemoine, F., Rousseau, J., & Leclerc, B. (1990). *Quantification of soil detachment under experimental conditions*. *Soil Erosion Research Journal*, 22(1), 35-42.
- Macary, F., & Berville, A. (2003). *Soil Erosion and Conservation*. Springer.
- **Martin, P., & Lefebvre, R. (2021)**. *Application of GIS and Remote Sensing for Improved Water Resource Management*. *Environmental Engineering Review*, 28(2), 145-160
- Meguenni, K., & Remini, B. (2008). EVALUATION DU DEBIT SOLIDE DANS LE BASSIN VERSANT DE HARREZA (ALGERIE). *EVALUATION DU DEBIT SOLIDE DANS LE BASSIN VERSANT DE HARREZA (ALGERIE)*, 7(7), 7–19.
- Meyer, L. D. (1970). *Mechanics of soil erosion by water*. In *Soil Erosion Research* (pp. 36-54). Academic Press.
- Nearing, M. A., Jetten, V., Baffaut, C., Cerdan, O., Couturier, A., Hernández, M., ... & Van Oost, K. (2017). Modeling response of soil erosion and runoff to changes in precipitation and cover. *Catena*, 137, 229-243.
- Panagos, P., Borrelli, P., Meusburger, K., Alewell, C., Lugato, E., & Montanarella, L. (2015). Estimating the soil erosion cover-management factor at the European scale. *Land Use Policy*, 48, 38-50.
- Roose, E. (1967, 1998). *Soil Erosion and Conservation*. Elsevier.

- Schmidt, J., Totsche, K. U., & Hergarten, S. (2010). Modeling soil erosion and sediment yield using terrain analysis and GIS. *Geophysical Research Abstracts*, 12, EGU2010-1392.
- Smith, J., Doe, A., & Brown, B. (2015). The Role of GIS in Environmental Management. *Journal of Environmental Science*, 23(4), 123-135.
- Smith, K. A., & Brown, J. R. (2010). *Hydrological impacts on soil erosion. Journal of Soil and Water Conservation*, 65(4), 287-297.
- Stengel, P., & Gelin, P. (1998). *Erosion and Soil Conservation*. Elsevier.
- Touaibia, B. (2004). *Hydrological Parameters and Topographic Surface*. *Journal of Hydrology*
- Toumi, S., Boufekane, A., & Haddad, S. (2020). Qualitative assessment of soil erosion risk using PAP/CAR model and GIS techniques: A case study of the Bejaia region, Algeria. *Arabian Journal of Geosciences*, 13(15), 1-11.
- Vrieling, A. (2006). *Soil Erosion and Conservation*. John Wiley & Sons.
- Wischmeier, W. H., & Smith, D. D. (1971). *Predicting Rainfall Erosion Losses*. USDA Agriculture Handbook No. 537.
- Wischmeier, W. H., & Smith, D. D. (1978). *Predicting Rainfall Erosion Losses*. USDA Agriculture Handbook No. 537.